

Strukturaufklärung in der molekularen anorganischen Chemie

10. Röntgen- und

Neutronendiffraktometrie

Themen

- Röntgenbeugung am Einkristall
- Pulverdiffraktion
- Neutronendiffraktion
- Diffraktion an Flüssigkeiten
- Molekül(e) des Tages



Röntgen- und Neutronenbeugung

γ -ray	Hard X-ray	Soft X-ray	Vacuum UV	Near UV	Visible blue red	Near IR	Mid IR	Far IR	Sub-mmw	mm-wave	Micro-wave	Radio-wave
$< 0.1 \text{ \AA}$	5\AA	100\AA	2000\AA		0.7 \mu m	2.5 \mu m	25 \mu m		1 mm		10 cm	λ
$> 10^9$	2×10^7	10^6	5×10^4	2.5×10^4	1.4×10^4	4000	400		10		0.1	$\tilde{\nu} / \text{cm}^{-1}$
1.2×10^7	2.4×10^5	1200	600	300	170	48	4.8		0.12		1.2×10^{-3}	$E / \text{kJ mol}^{-1}$
120 000	2400	120	6	3	1.7	0.5	0.05		0.001		0.00001	E / eV
3×10^{19}	6×10^{17}	3×10^{16}	1.5×10^{15}	7.5×10^{14}	4×10^{14}	1.2×10^{14}	1.2×10^{13}		3×10^{11}		3×10^9	ν / Hz

$\lambda \sim 0.5 - 2.5 \text{ \AA}$ (XRD); $\sim 0.5 - 5.0 \text{ \AA}$ (ND)

XRD, ND

Wechselwirkung mit Strahlung:

- (Optische/Radio) Spektroskopie
- Streuung/Diffraktion
- Resonanzmethode
- Elektrische Methode
- Ionisation

Probe Beeinflussung:

- Destruktiv
- Nicht destruktiv

Anwendung:

- Identifizierung/Sauberkeit
- Elementaranalyse
- Chemische Gruppen
- Chemische Konnektivität
- Konformations-Eigenschaften
- Symmetrie
- Geometrie (Längen, Winkel)
- Schwingungen
- Elektronische Struktur (/Dichte)
- (Elektrische) Dipolmomente

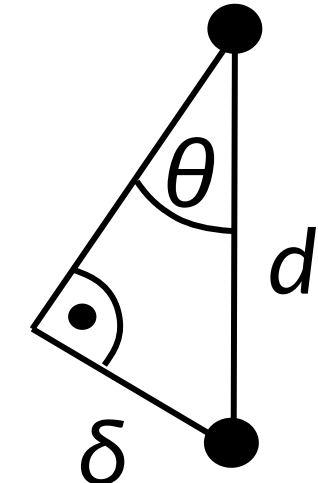
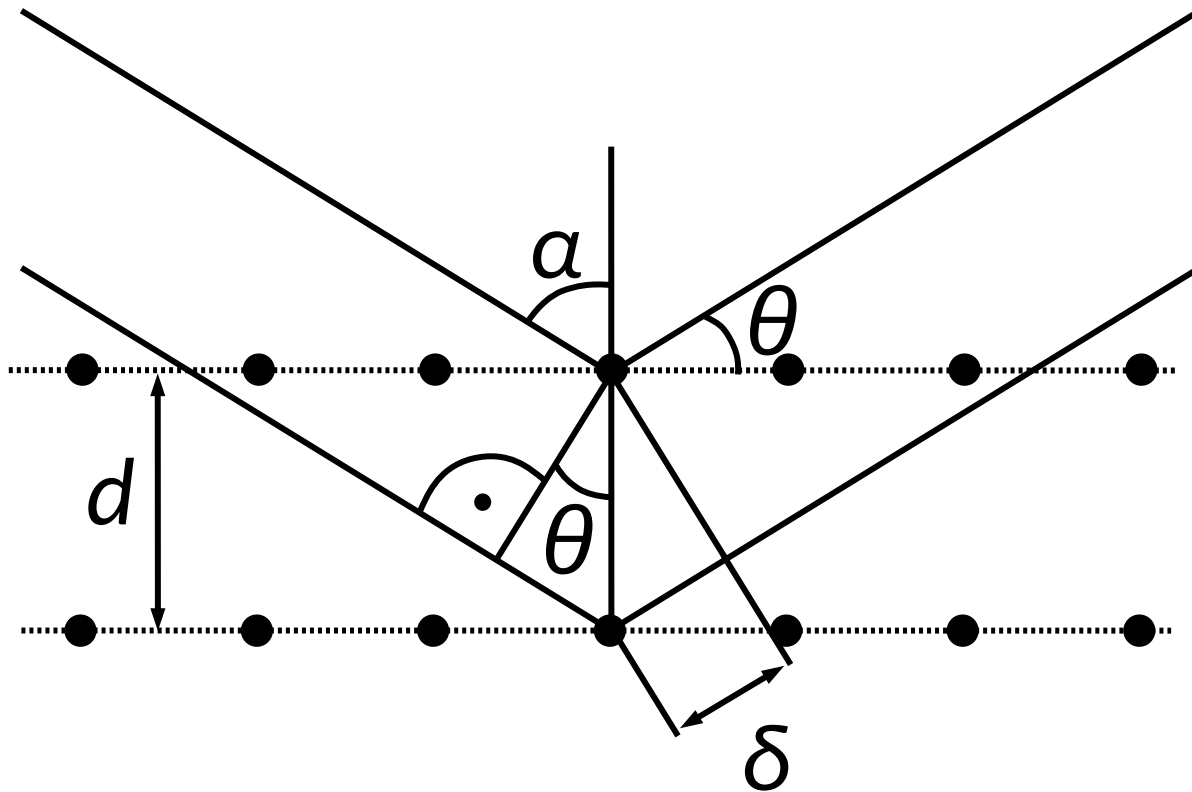
Charakteristische Zeit:

- Langsame Methode
- Mittelschnelle Methode
- Schnelle Methode

Aggregatzustand der Probe:

- Gas
- Flüssigkeit
- Feststoff

Beugung: die Bragg'sche Gleichung



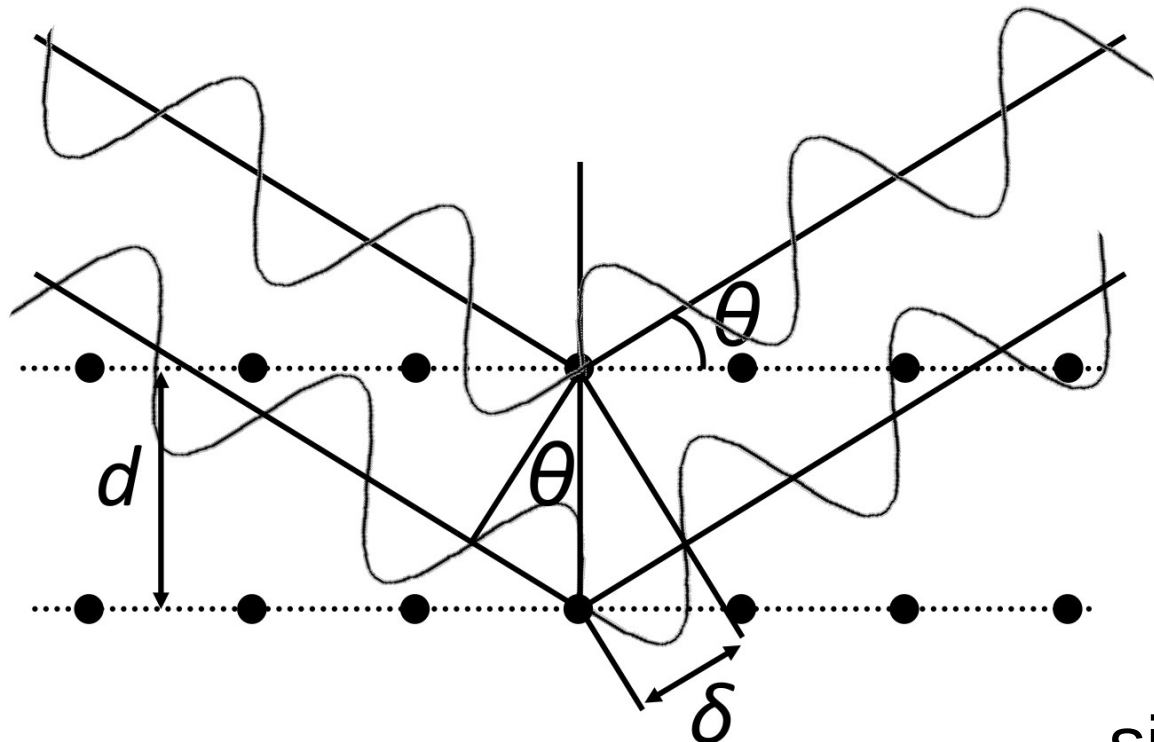
Beugung: die Bragg'sche Gleichung

Laufunterschied: 2δ

Für konstruktive Interferenz:

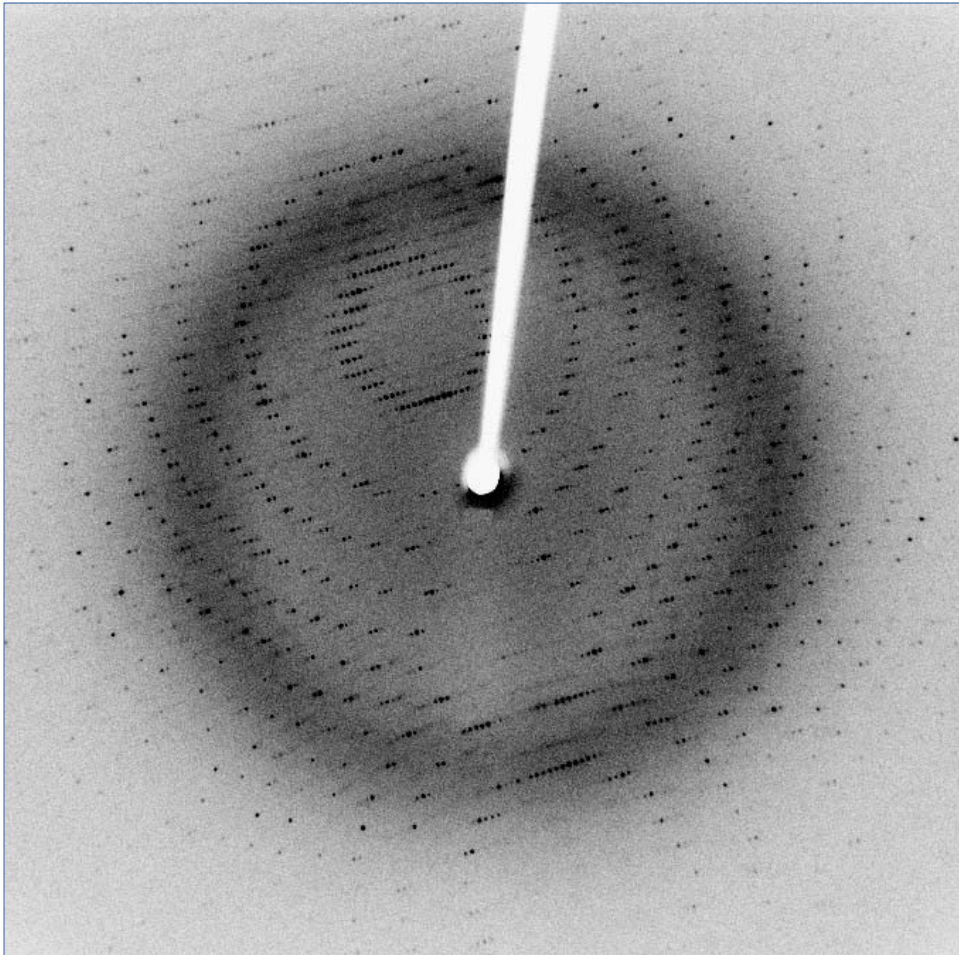
$$\lambda = 2\delta = 2d \sin(\theta)$$

$$n\lambda = 2d \sin(\theta)$$



$$\sin(\theta) \leq 1 \rightarrow \lambda \leq 2d/n$$

XRD Beugungsbild

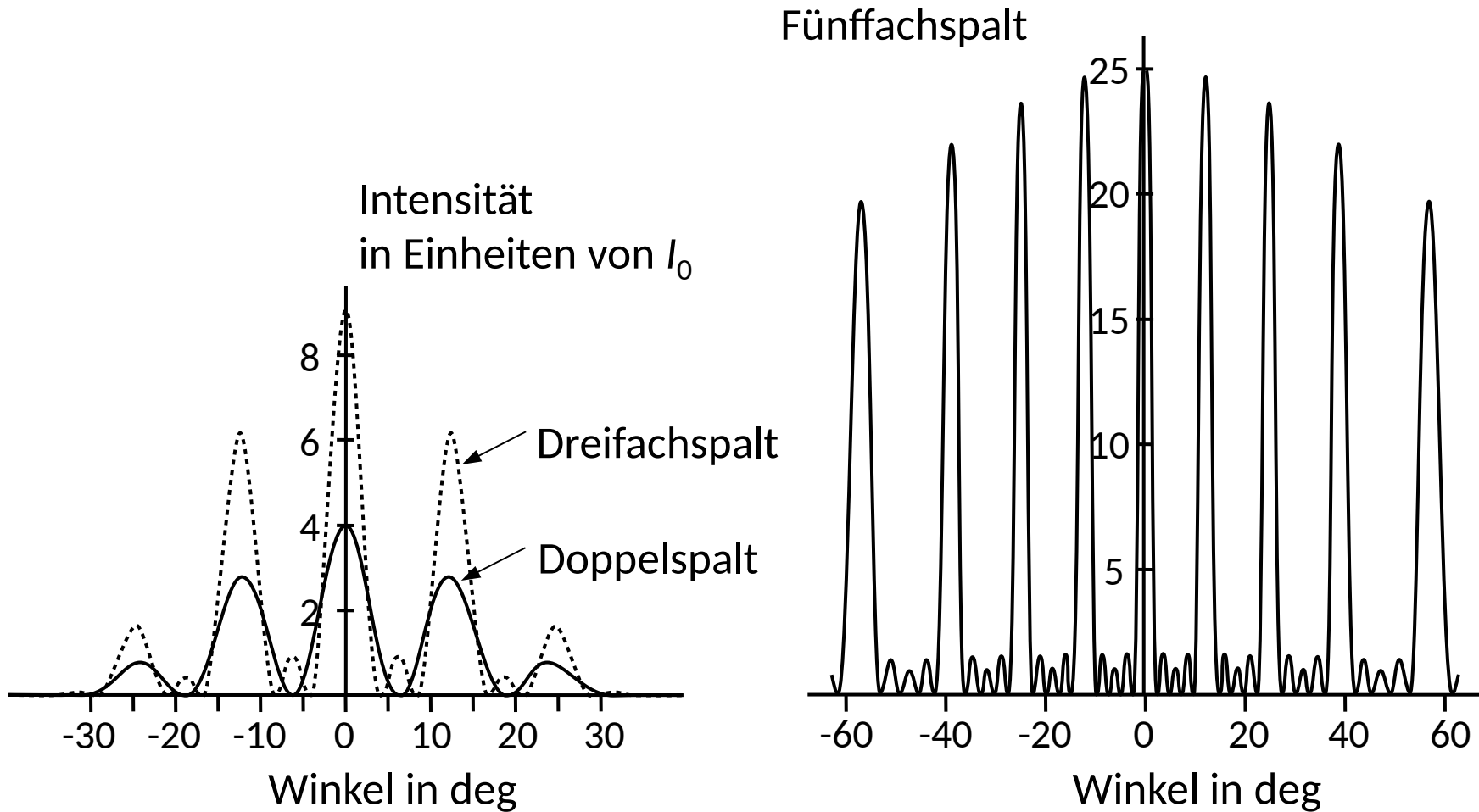


Schwarze Punkte: Reflexe
(Beugung am Einkristall wegen
passender Bedingungen λ, d, θ)

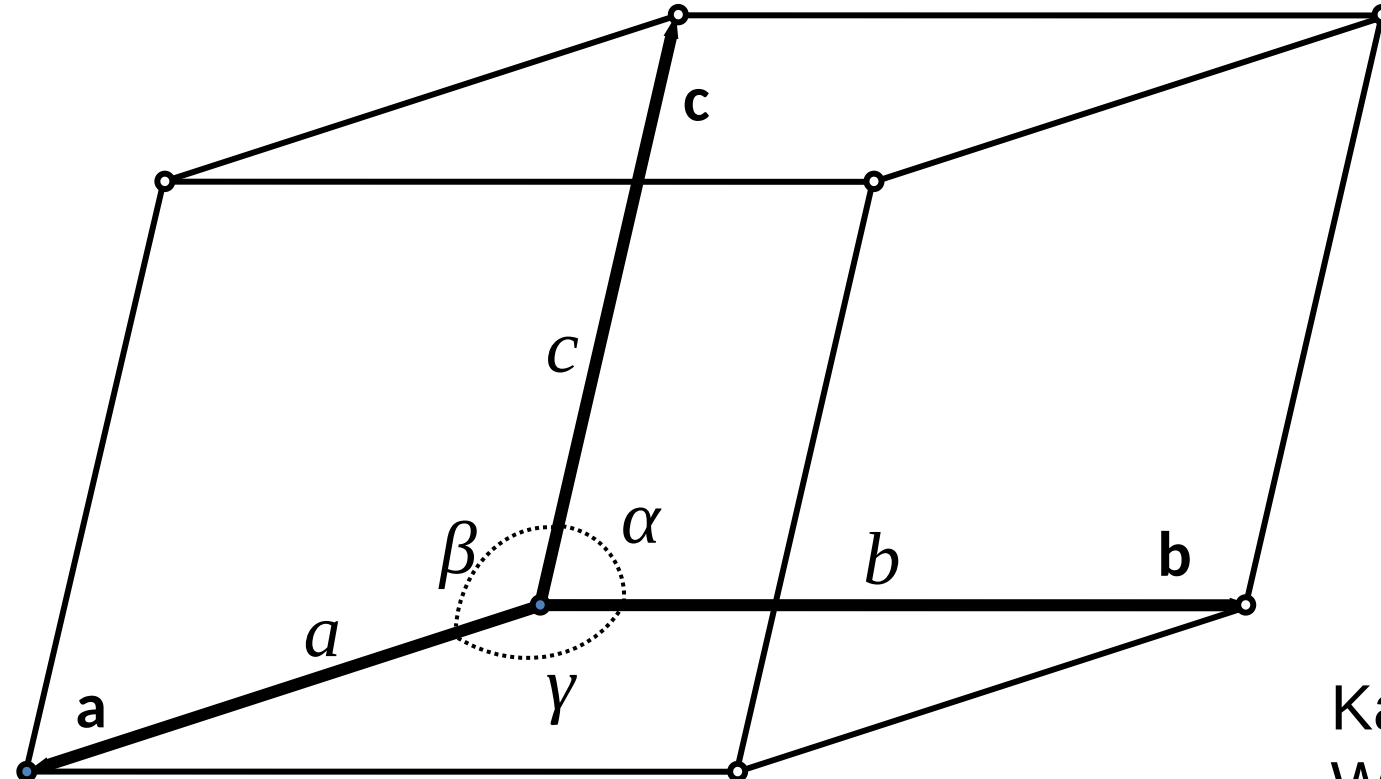
Diffuser Hintergrund: Beugung an
amorphen Phasen, inelastische
Beugung, ungleichmäßige
Absorption

Weiße Figur: Schatten vom
Beamstop

Vom Doppelspalt zum Gitter

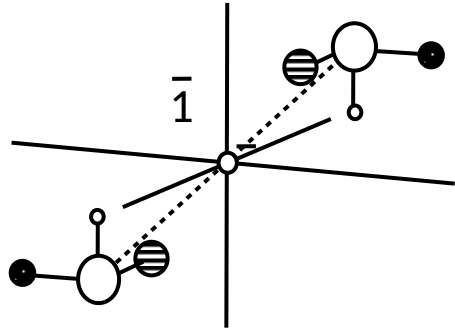


Aufbau von Kristallen: die Einheitszelle

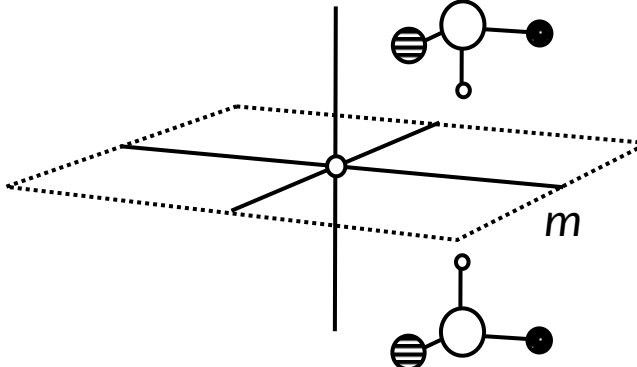


Kantenlängen a, b, c
Winkel α, β, γ
Gittervektoren $\mathbf{a}, \mathbf{b}, \mathbf{c}$

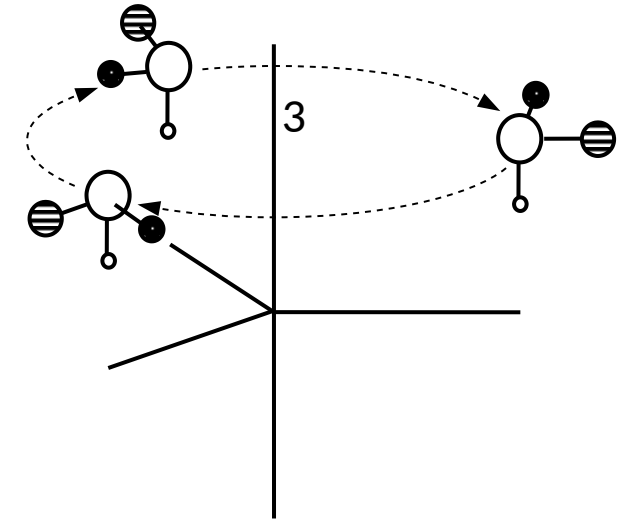
Einfache Symmetrieelemente



Inversionszentrum
 $\bar{1}$ (i)



Spiegelebenen
 m (σ)

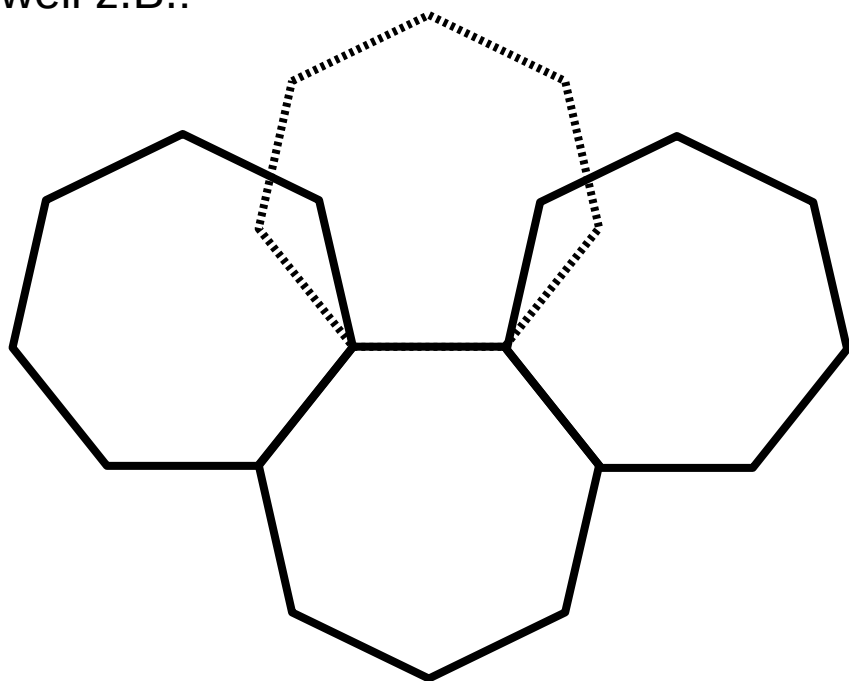


Drehachsen
2, 3, 4, 6 (C_n)

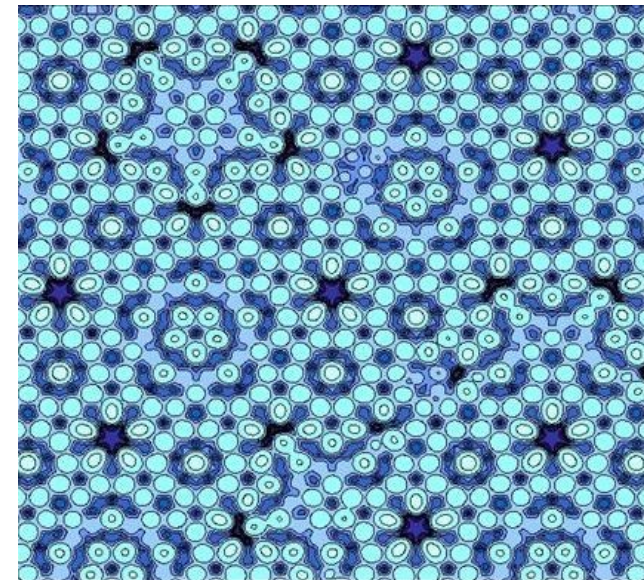
Herrmann-Mauguin-Nomenklatur
(Schöfliess-N. in Klammern)

Fünf- und siebenzählige Achsen

Nicht möglich in normalen Kristallen,
weil z.B.:



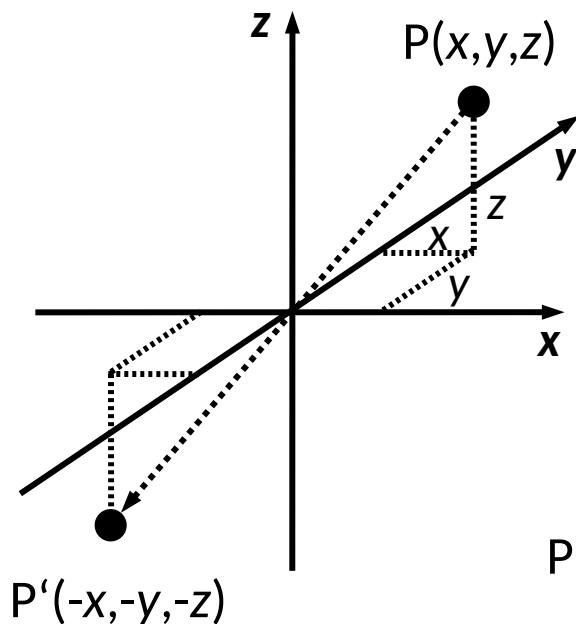
Aber möglich in Quasikristallen!
(Dan Shechtman, Chemie-Nobelpreis, 2011)



(s. Parkettierung von euklidischen Ebenen in Mat.)

Kombinierte Symmetrielemente

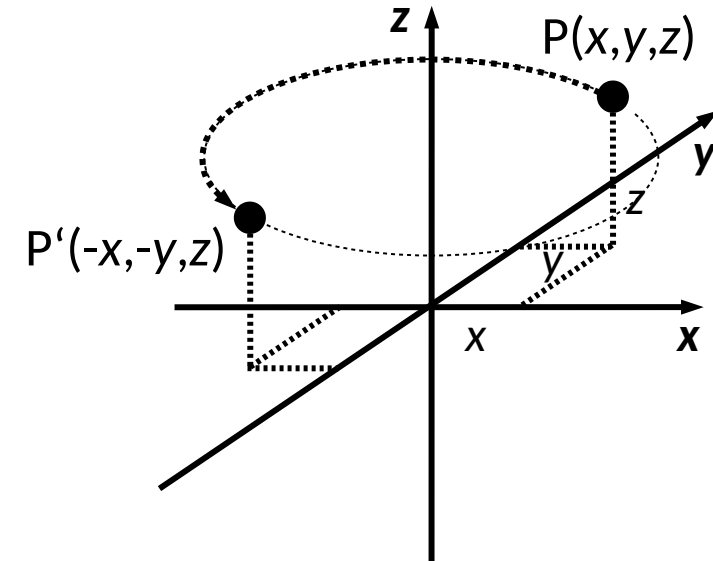
Inversion



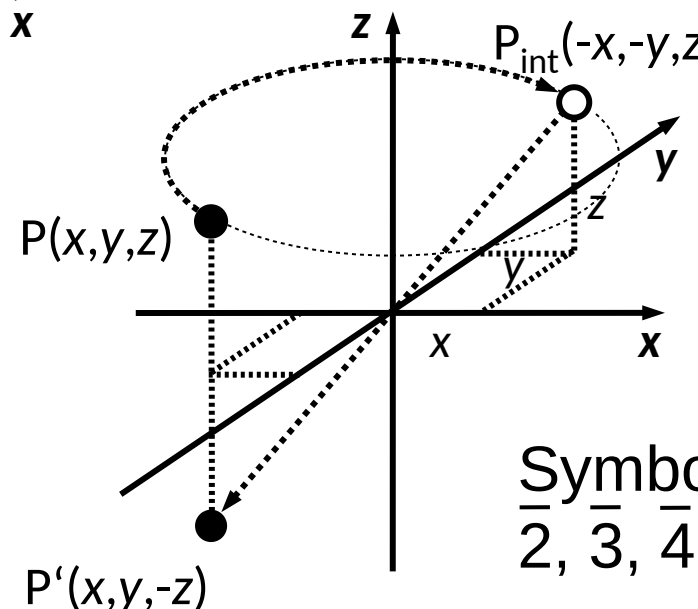
..... Achsenabschnitte
..... Transformation

Rotation

(z. B. um $\frac{1}{2}$ von 360°)



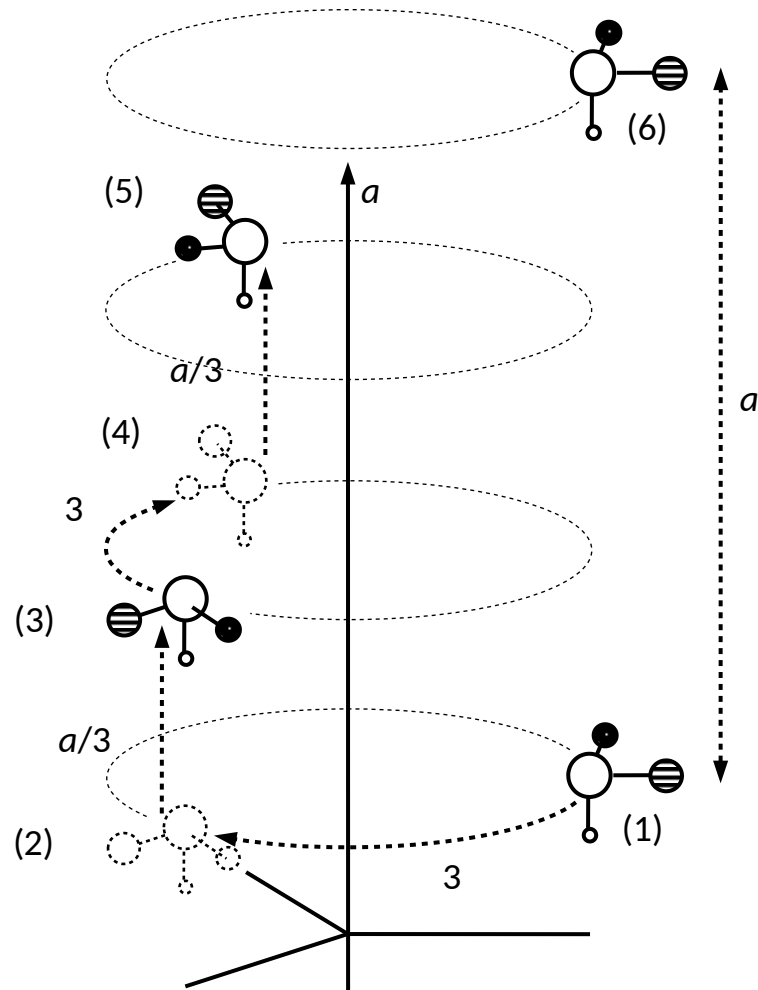
Inversion-Rotation



Symbol:
 $\frac{1}{2}, \frac{3}{4}, \frac{1}{4}, \frac{6}{6}$

P_{int} = intermediäre,
nicht realisierte Position

Kombinierte Symmetrielemente



Schraubenachse

Kombination aus
 n -facher Rotation mit Translationselement

Nomenklatur n_m
 m Translation entlang
einer Achse um m/n

← Beispiel
 3_1 : nächstes Objekt
gedreht um 120°
translatiert um $\frac{1}{3}$ des Gittervektors

Mögliche Schraubenachsen:
 $2_1, 3_1, 4_1, 4_2, 6_1, 6_2, 6_3$.

Kombinierte Symmetrielemente

Gleitspiegelebene

Kombination aus
Spiegelung m mit Translationselement

Nomenklatur a, b, c

*Spiegelung und Translation um $\frac{1}{2}$ des
Gittervektors*

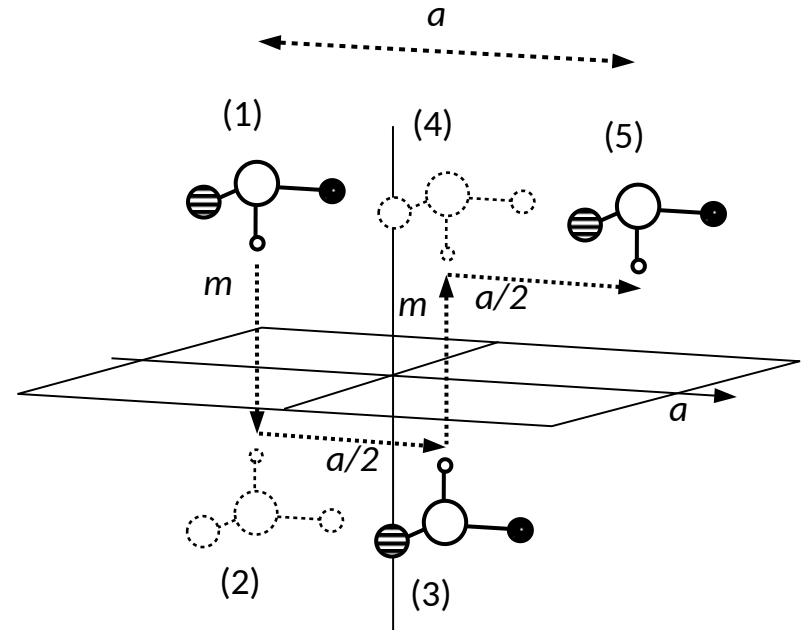
Bei Wiederholung:
Resultat nur Translation

n : Gleiten entlang der Flächendiagonale

d : $\frac{1}{4} \dots$ der Flächendiagonale

e : $\frac{1}{2} \dots$ der Flächendiagonale

Beispiel: a



7 Kristallsysteme

Kristallsystem	Achsen- und Winkel-Dimensionen	Minimale Symmetrie	Laue Gruppe (Symmetrie des Beugungsbilds)	Bravais-Gitter	Kristallographische Punktgruppen	Übliche Raumgruppen
Triklin	$a \neq b \neq c$ $\alpha \neq \beta \neq \gamma$	–	$\bar{1}$	P	$1, \bar{1}$ (C_1, C_i)	$P\bar{1}$
Monoklin	$a \neq b \neq c$ $\alpha = \gamma = 90^\circ, \beta \neq 90^\circ$	$2 \parallel b$ oder $m \perp b$	$2/m$	P, C	$2, m, 2/m$ (C_2, C_s, C_{2h})	$P2_1, C2/c,$ $P2_1/c$
Orthorhombisch	$a \neq b \neq c$ $\alpha = \beta = \gamma = 90^\circ$	$2,2,2$ oder mmm	mmm	P, C, I, F	$222, mm2, mmm$ (D_2, C_{2v}, D_{2h})	$P2_12_12_1,$ $Pbca$
Tetragonal	$a = b \neq c$ $\alpha = \beta = \gamma = 90^\circ$	$4 \parallel c$	$4/mmm$	P, I	$4, \bar{4}, 4/m, 422, 4mm,$ $\bar{4}2m, 4/mmm$ ($C_4, S_4, C_{4h}, D_4, C_{4v}, D_{2d},$ D_{4h})	$I4/mmm$
Trigonal	$a = b = c$ $\alpha = \beta = \gamma \neq 90^\circ$	$3 \parallel c$	$\bar{3}m$	P, I, F	$3, \bar{3}, 32, 3m, \bar{3}m$ ($C_3, S_6, D_3, C_{3v}, D_{3d}$)	$R\bar{3}m$
Hexagonal	$a = b \neq c$ $\alpha = \beta = 90^\circ, \gamma = 120^\circ$	$6 \parallel c$	$6/mmm$	R	$6, \bar{6}, 6/m, 622, 6mm,$ $\bar{6}m2, 6/mmm$ ($C_6, C_{3h}, C_{6h}, D_6, C_{6v}, D_{3h},$ D_{6h})	$Pm3m,$ $Fm3m,$ $Fd3m$
Kubisch	$a = b = c$ $\alpha = \beta = \gamma = 90^\circ$	$3 \parallel [111]$	$m3m$	P	$23, m3, 432,$ $43m, m3m$ (T, T_h, O, T_d, O_h)	$P6_3/mmc$

Kristalle und Kristallsysteme



trikliner Rhodonit
 $Mn^{2+}SiO_3$



monokliner Vivianit
 $Fe^{2+}_3[PO_4]_2 \cdot 8H_2O$



orthorhombischer
Fayalit $Fe_2^{2+}[SiO_4]$



tetragonaler
Anatas TiO_2



trigonaler Hämatit Fe_2O_3



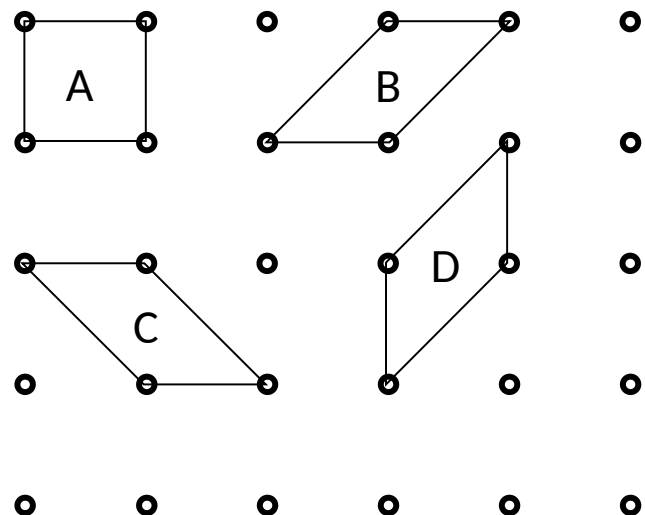
hexagonaler Beryll $Al_2Be_3[Si_6O_{18}]$



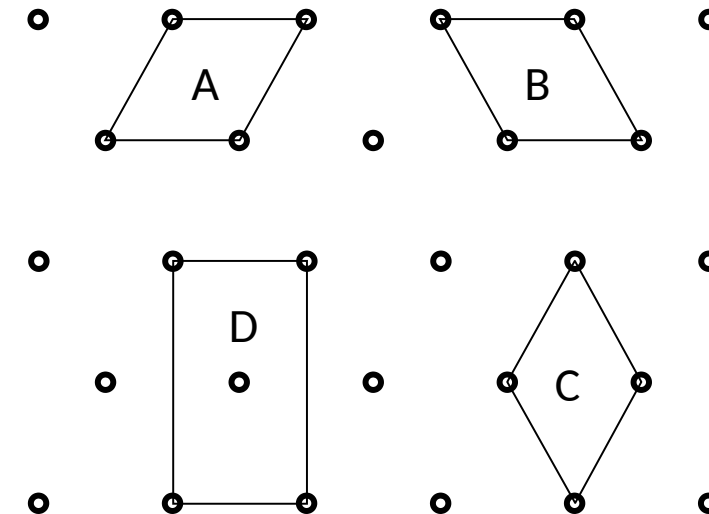
kubischer Spessartin
 $Mn_3Al_2[SiO_4]_3$

Wahl der Einheitszelle

Hypothetische Beispiele in 2 Dimensionen

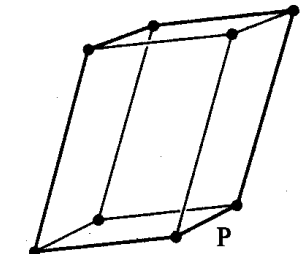


Die am besten geeignete
primitive Zelle (A)

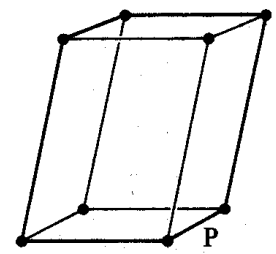


Hier wird eine zentrierte Zelle (D)
Bevorzugt, da sie die Symmetrie
am besten wiedergibt

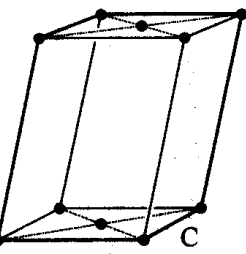
Die 14 Bravais-Gitter



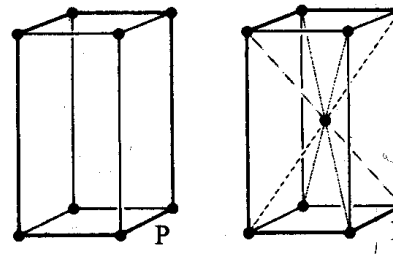
triklin



monoklin



C

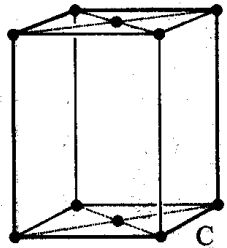
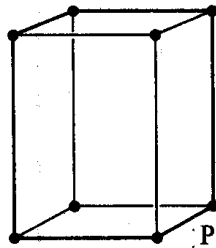


tetragonal

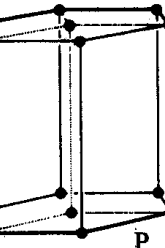
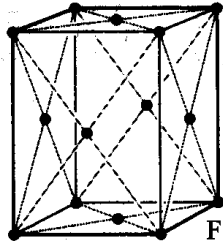
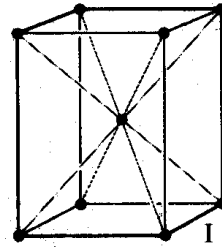
7 Kristallsysteme

+

Translationen
(Zentrierungen)



orthorhombisch



hexagonal

14 Bravais-Gitter

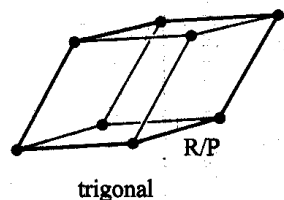


P – primitiv

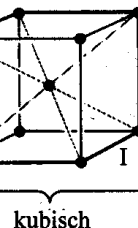
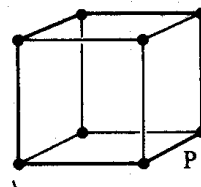
C – basiszentriert

I – raumzentriert

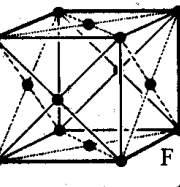
F – flächenzentriert



trigonal

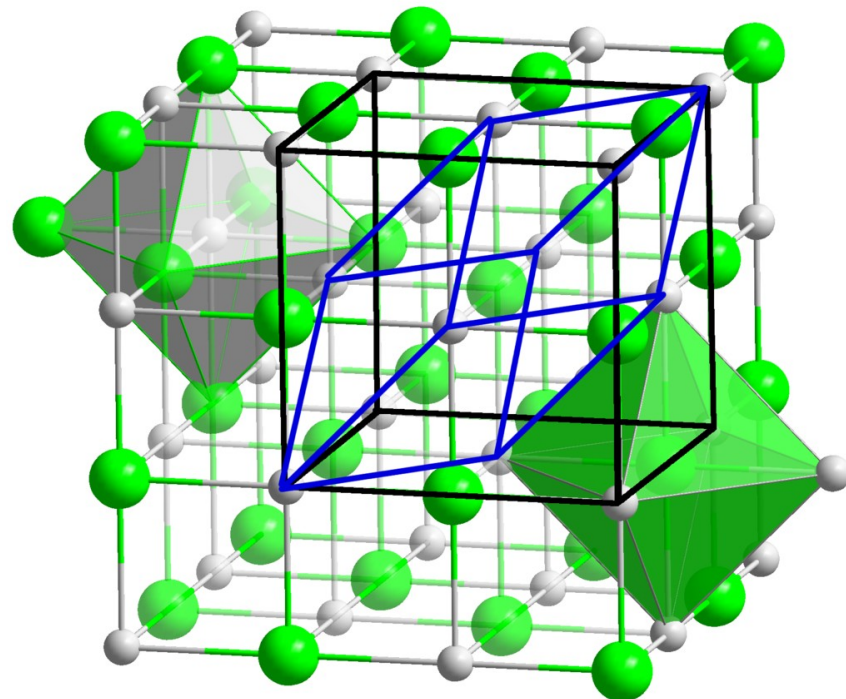


kubisch



Bravais-Gitter

Halit (NaCl)



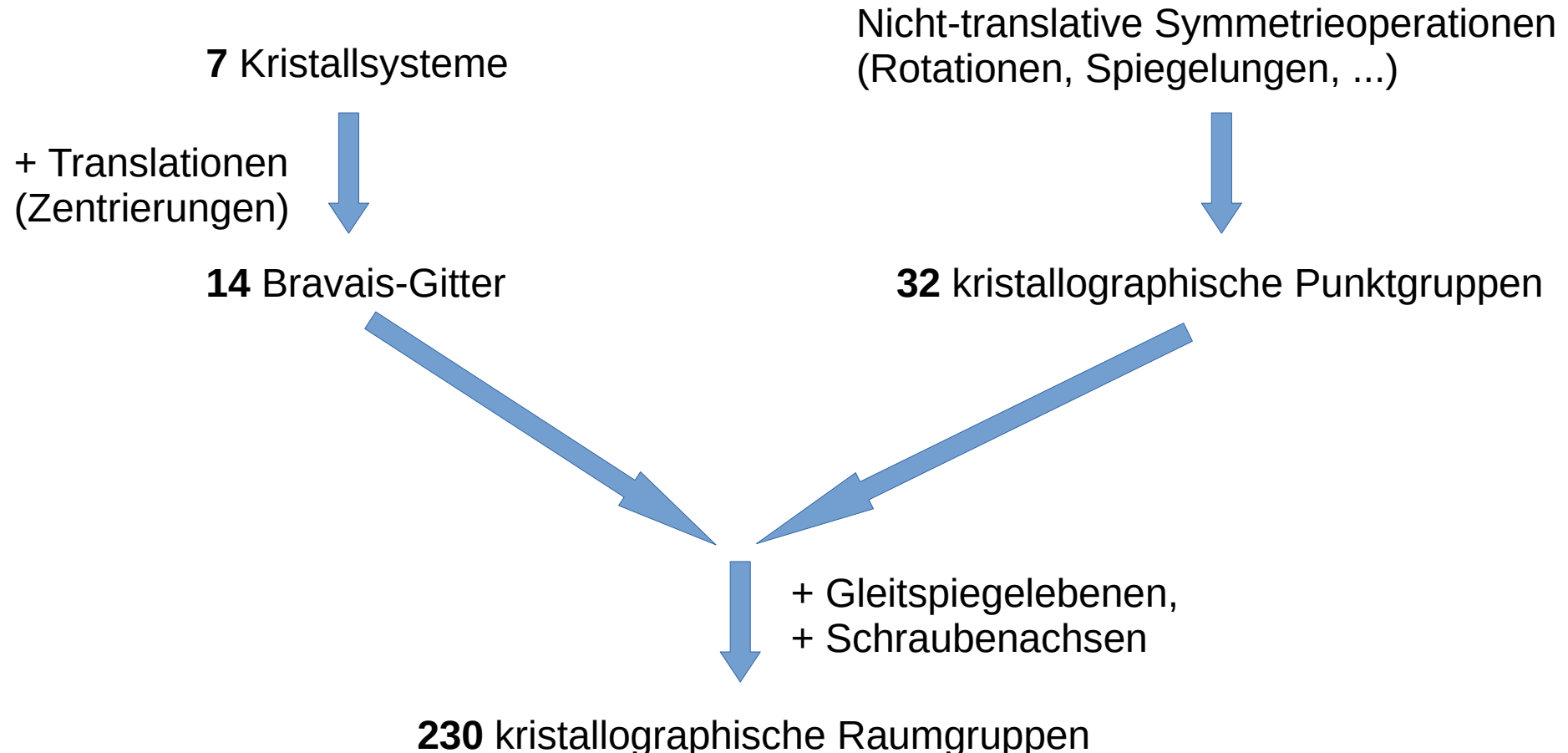
Rhomboeder (blau): kleinstmögliche Zelle

Elementarzelle (schwarz): kubisch F

Kristallsystem: kubisch
Raumgruppe: $Fm\bar{3}m$



Symmetrie: Zusammenfassung



Ein Beispiel: 2,3,5,6-Tetrafluorpyridin

Pnma

eine Abkürzung für $P \frac{2_1}{n} \frac{2_1}{m} \frac{2_1}{a}$

Bedeutet:

- Einheitszelle ist primitive Zelle P (ohne Zentrierung)
- 2_1 Schraubenachsen entlang aller drei Vektoren \mathbf{a} , \mathbf{b} und \mathbf{c}
- Diagonale Gleitspiegelebene n senkrecht zu \mathbf{a}
mit Gleitrichtung entlang des Vektors $(\mathbf{b}+\mathbf{c})$
- Spiegelebene senkrecht zu \mathbf{b}
- Gleitspiegelebene senkrecht zu \mathbf{c} mit Translationskomponente
entlang \mathbf{a} .

Selbst hier nicht alle Symmetrieelemente gezeigt

Vollständig: International Tables for Crystallography, Vol. A

Ein Beispiel: 2,3,5,6-Tetrafluoropyridin

Pnma

No. 62

Symmetry Operators

- | | |
|---|---|
| 1 | x, y, z |
| 2 | $\frac{1}{2} - x, \frac{1}{2} + y, \frac{1}{2} + z$ |
| 3 | $x, \frac{1}{2} - y, z$ |
| 4 | $\frac{1}{2} + x, y, \frac{1}{2} - z$ |
| 5 | $\bar{x}, \bar{y}, \bar{z}$ |
| 6 | $\frac{1}{2} + x, \frac{1}{2} - y, \frac{1}{2} - z$ |
| 7 | $\bar{x}, \frac{1}{2} + y, \bar{z}$ |
| 8 | $\frac{1}{2} - x, \bar{y}, \frac{1}{2} + z$ |

- | | |
|-----------|---|
| 1 | |
| n | $(\frac{1}{4}, y, z) [0, \frac{1}{2}, \frac{1}{2}]$ |
| m | $(x, \frac{1}{4}, z)$ |
| a | $(x, y, \frac{1}{4}) [\frac{1}{2}, 0, 0]$ |
| $\bar{1}$ | $(0, 0, 0)$ |
| 2_1 | $(x, \frac{1}{4}, \frac{1}{4}) [\frac{1}{2}, 0, 0]$ |
| 2_1 | $(0, y, 0) [0, \frac{1}{2}, 0]$ |
| 2_1 | $(\frac{1}{4}, 0, z) [0, 0, \frac{1}{2}]$ |

Reflection Conditions

(general)

$0kl : k + l = 2n$

$hk0 : h = 2n$

$h00 : h = 2n$

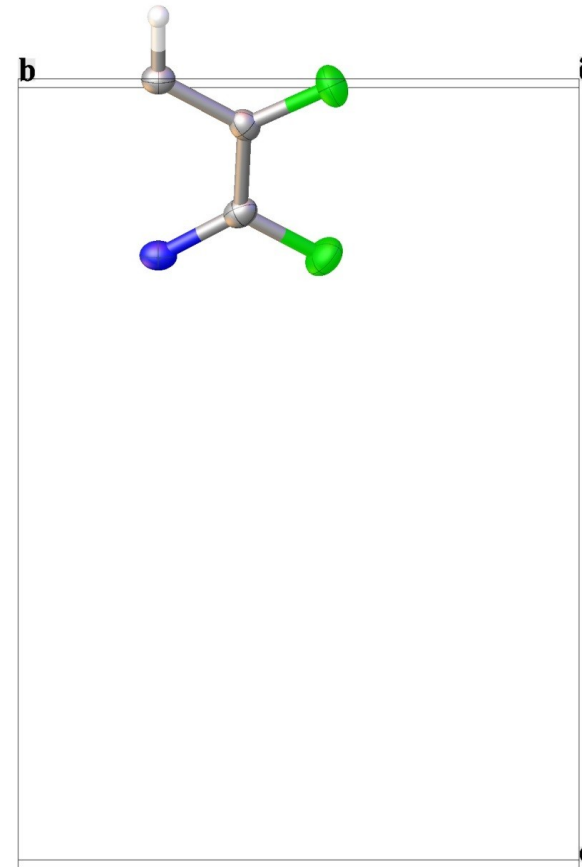
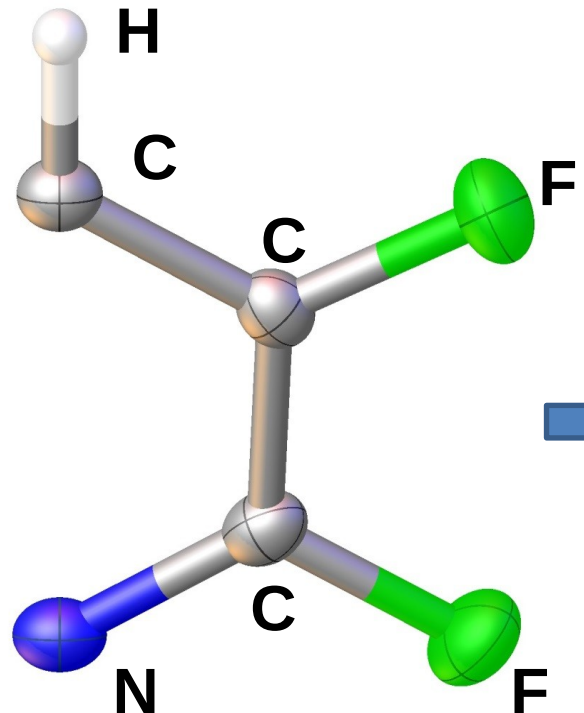
$0k0 : k = 2n$

$00l : l = 2n$

International Tables

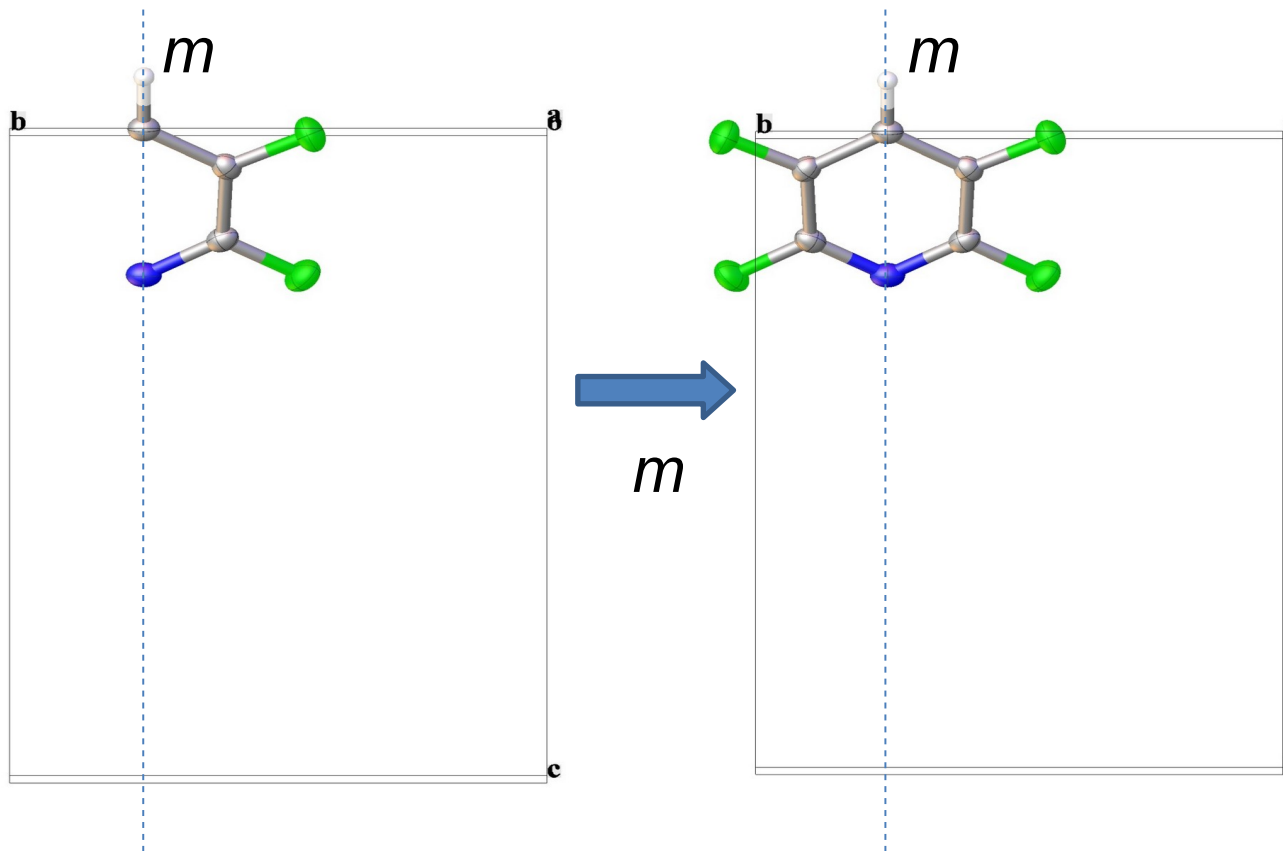
Ein Beispiel: 2,3,5,6-Tetrafluorpyridin

Asymmetrische Einheit (Blick entlang a)



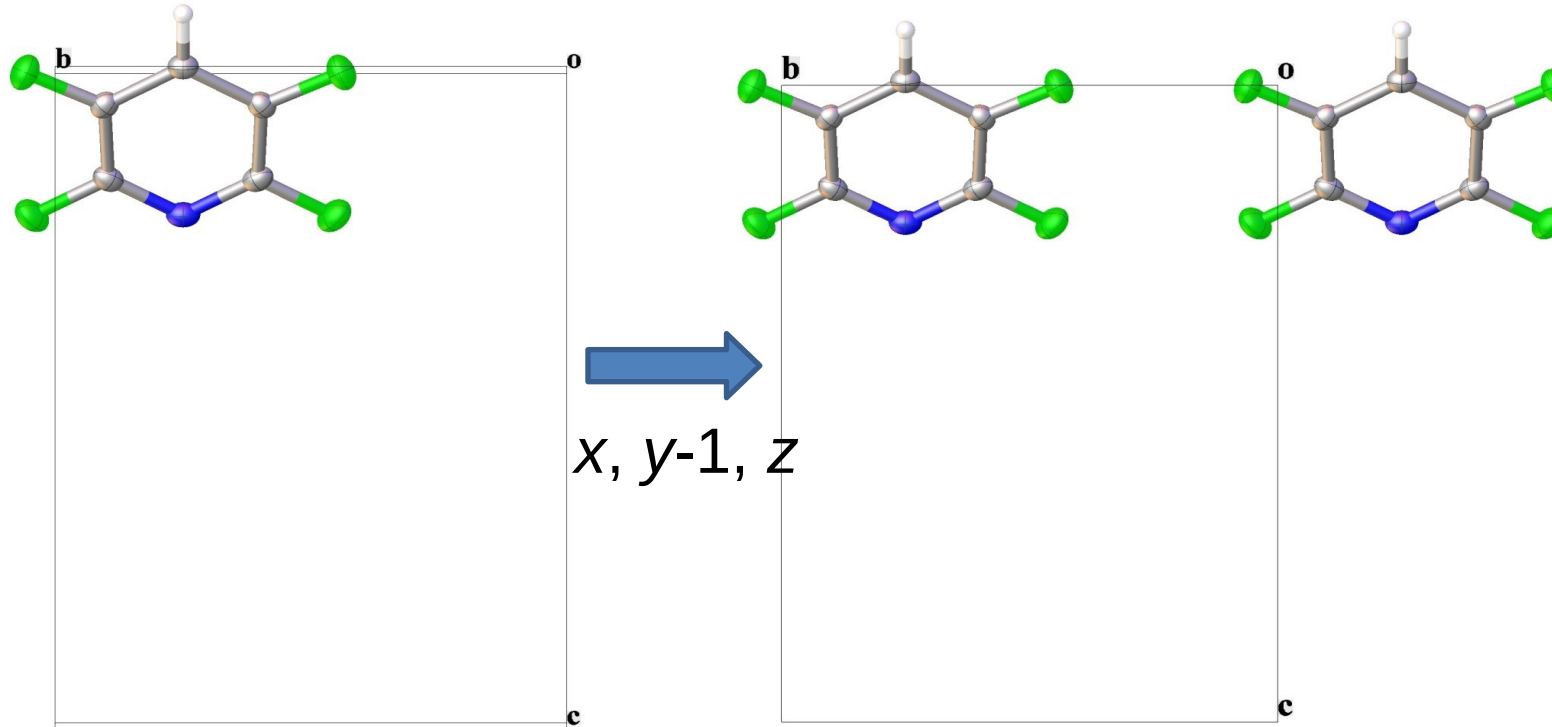
Ein Beispiel: 2,3,5,6-Tetrafluoropyridin

Anwendung eines Symmetrieelementes



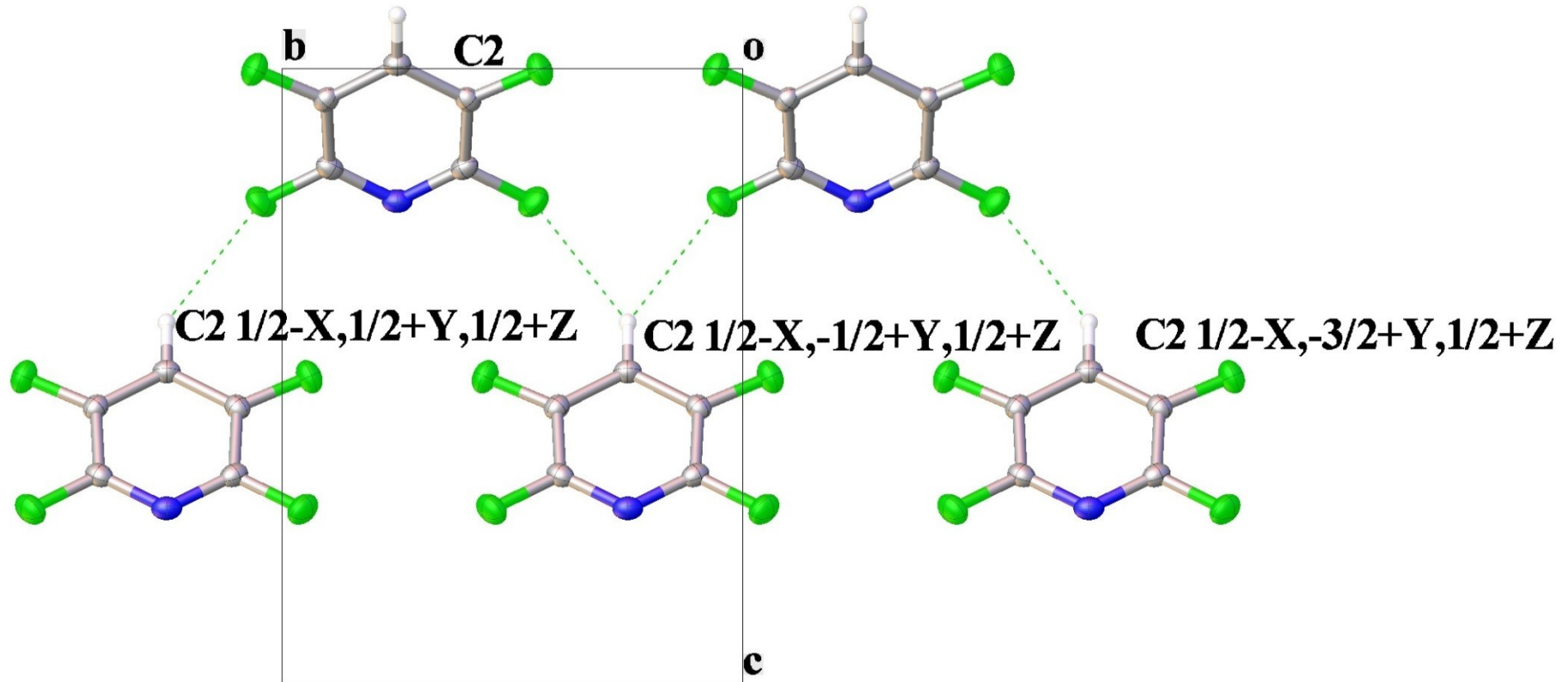
Ein Beispiel: 2,3,5,6-Tetrafluoropyridin

Anwendung der Translation



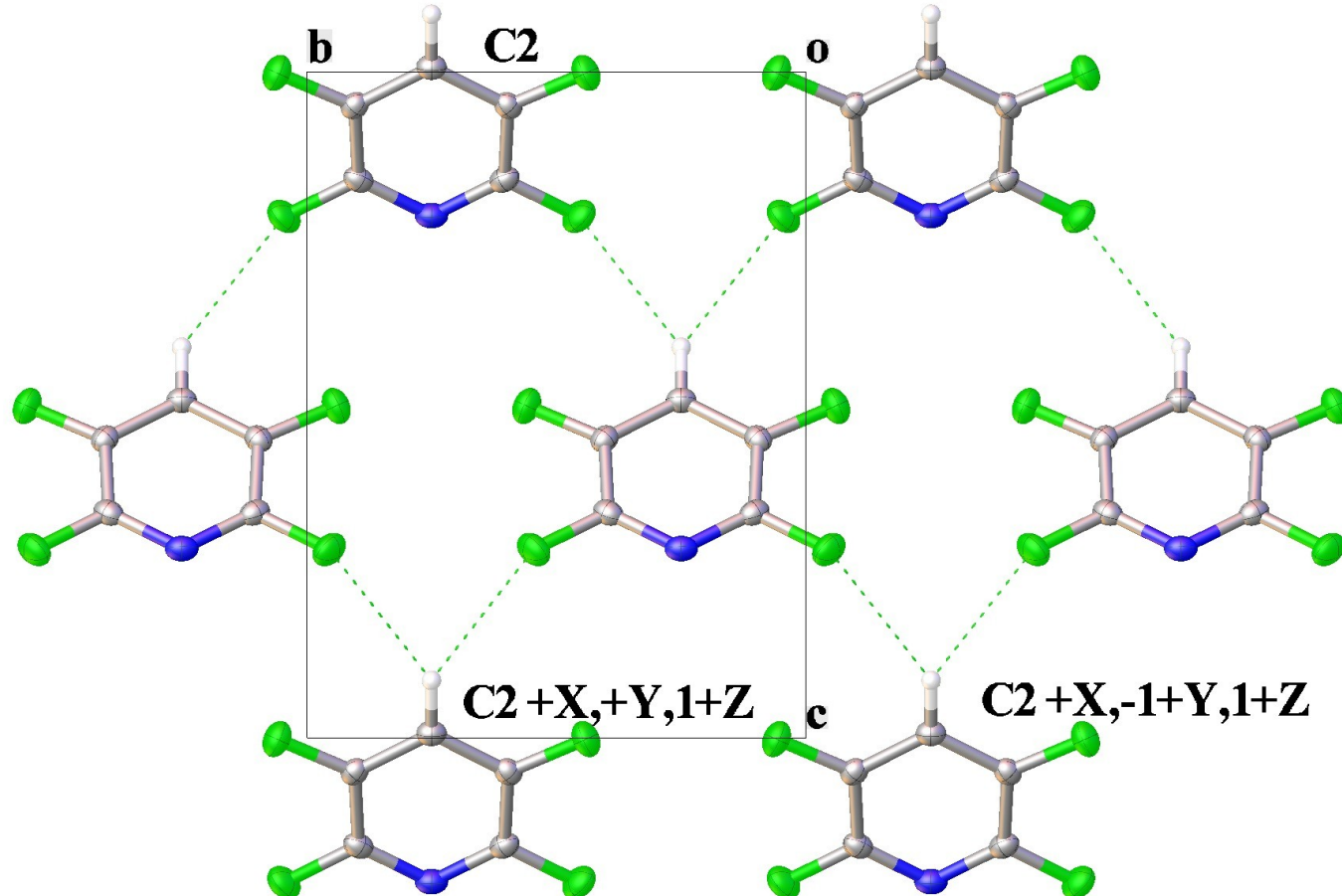
Ein Beispiel: 2,3,5,6-Tetrafluoropyridin

Weitere Symmetrieeoperationen



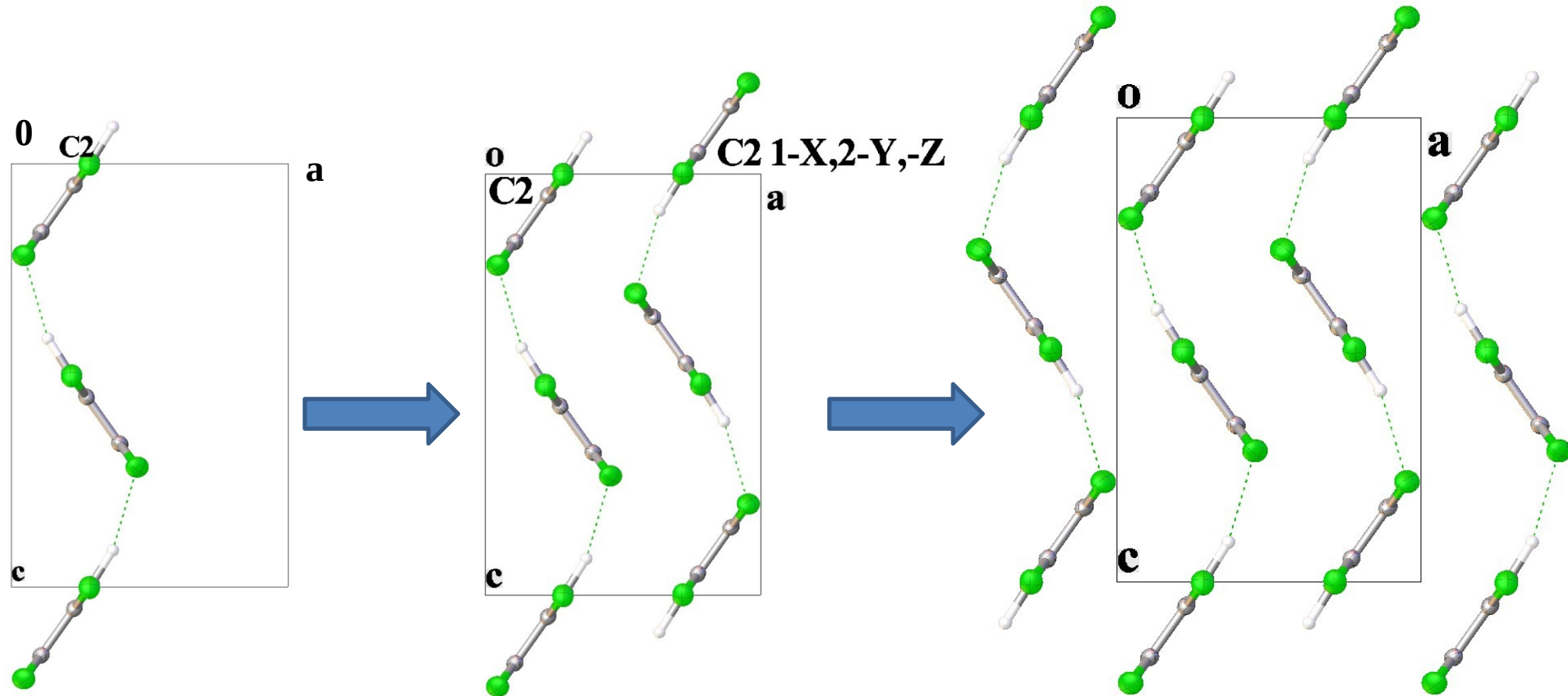
Ein Beispiel: 2,3,5,6-Tetrafluoropyridin

Vervollständigung

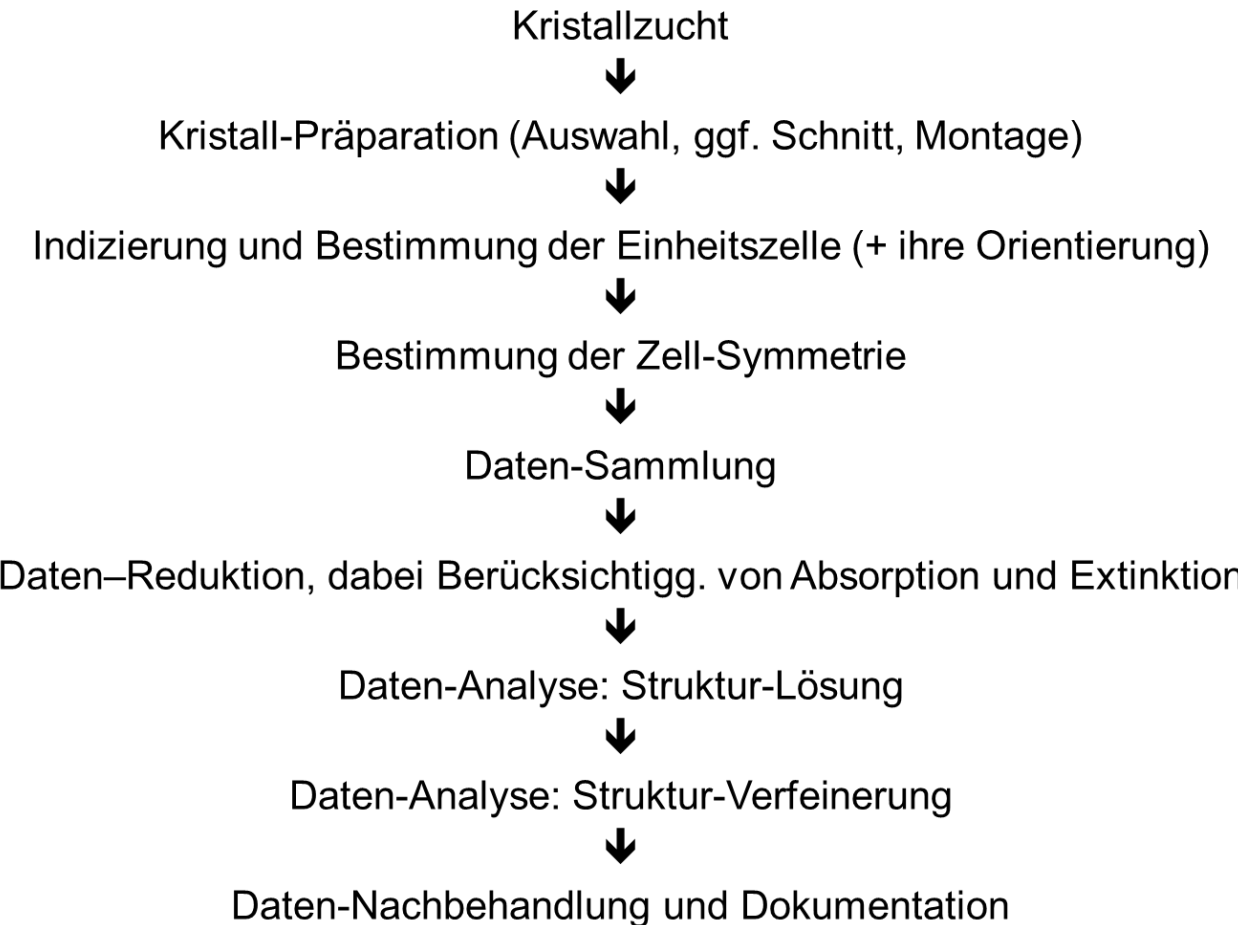


Ein Beispiel: 2,3,5,6-Tetrafluoropyridin

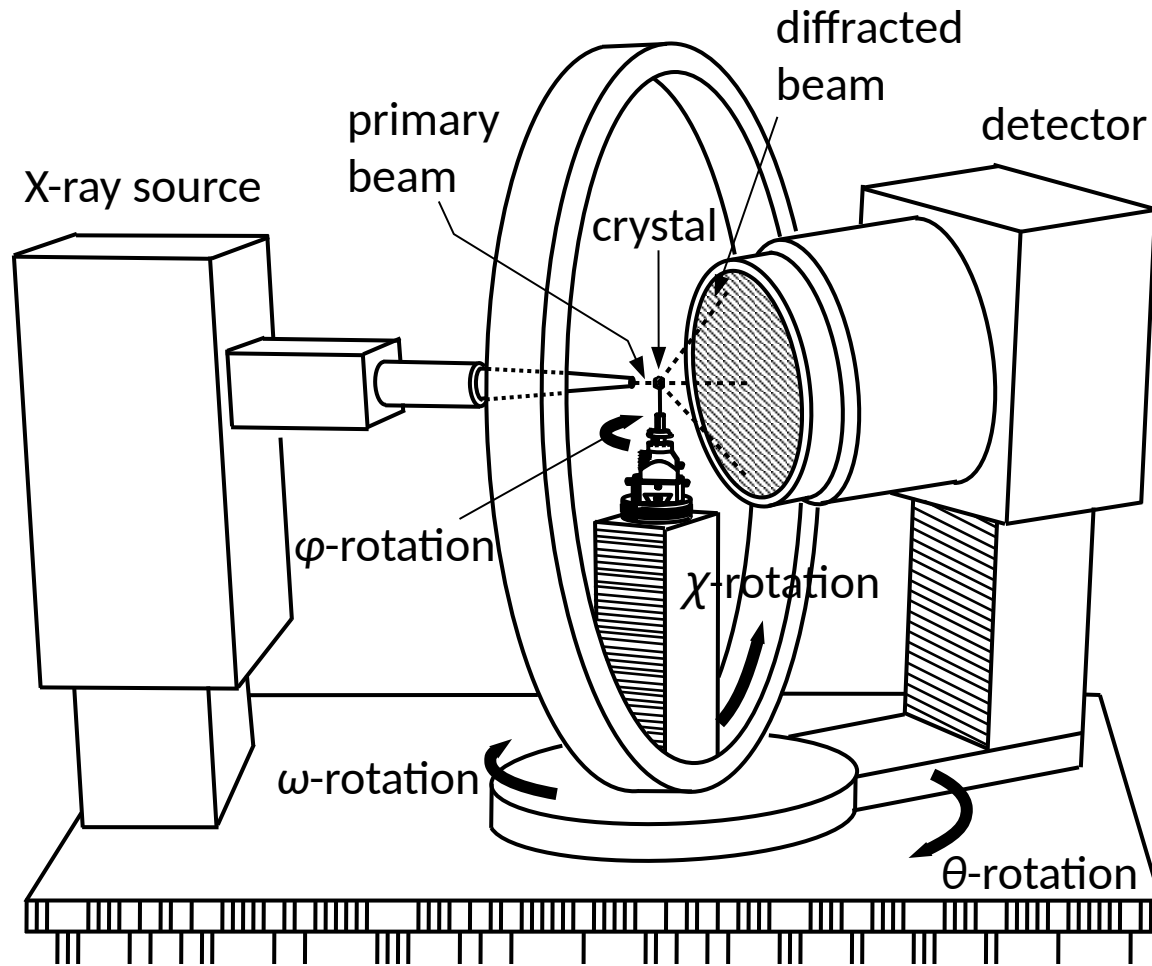
Andere Perspektive (Blick entlang b)



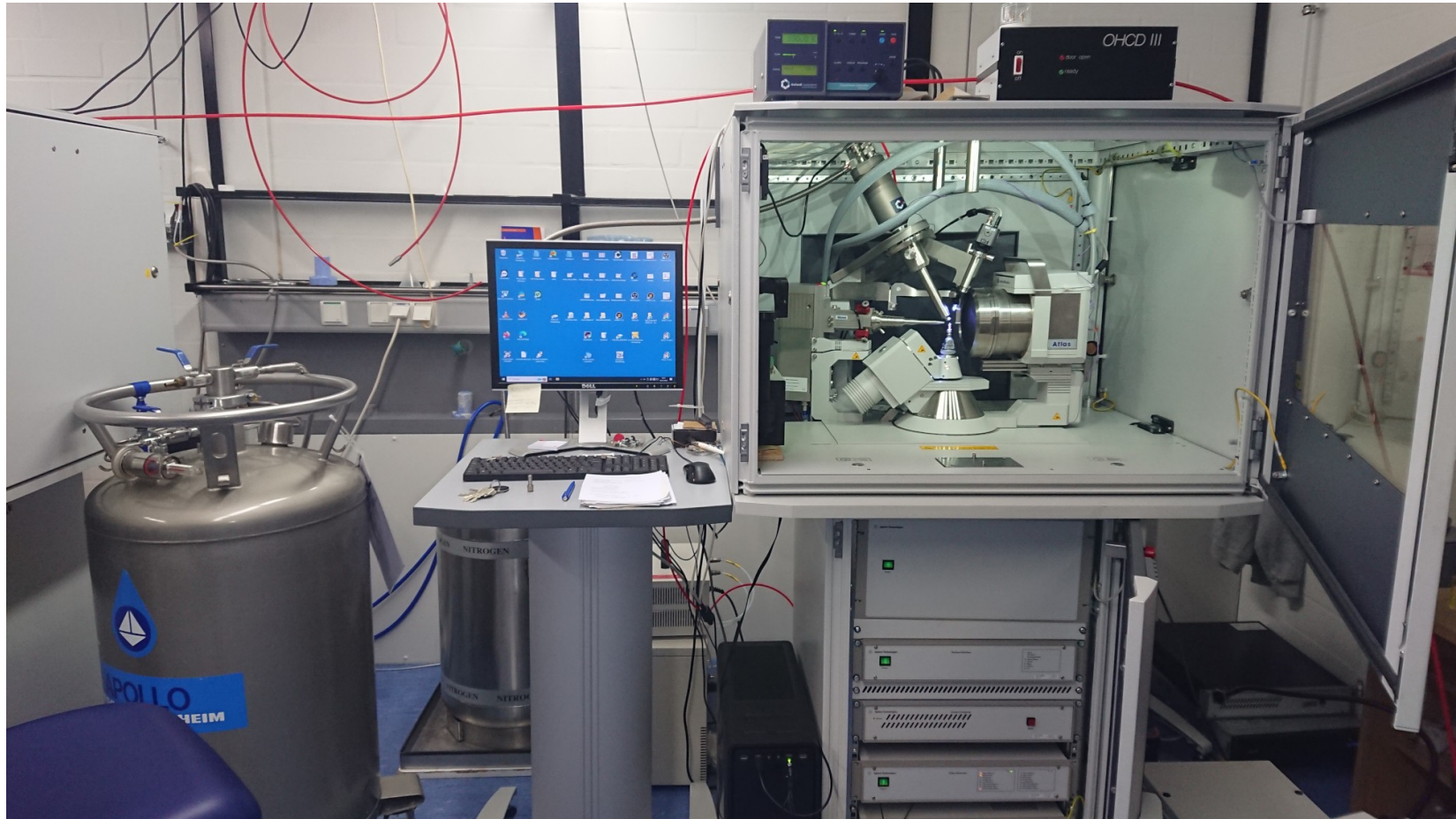
Durchführung eines Experimentes



Diffraktometer

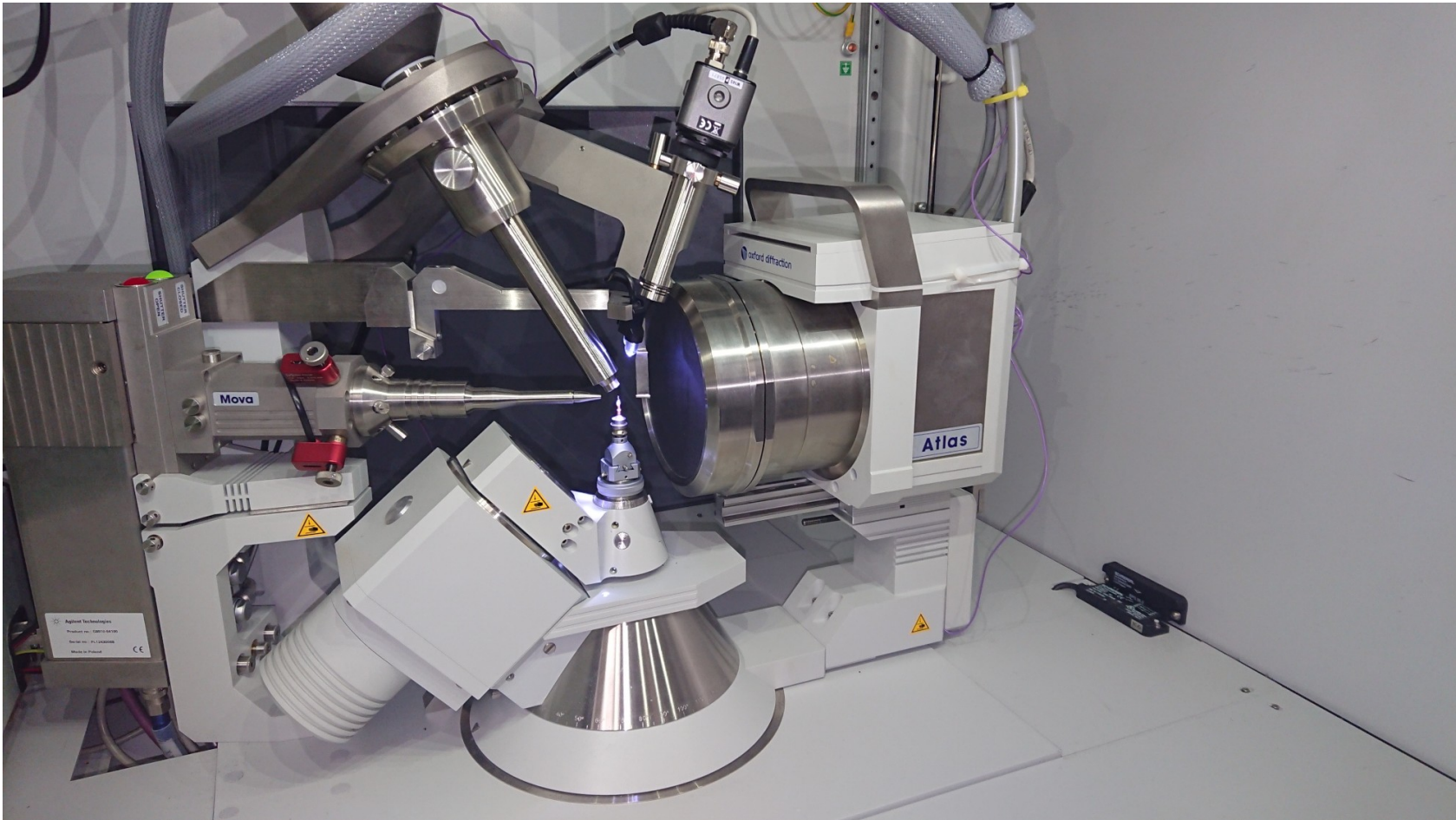


Diffraktometer



Rigaku Supernova Diffractometer @ Uni-Bielefeld (AK Mitzel)

Diffraktometer



Rigaku Supernova Diffractometer @ Uni-Bielefeld (AK Mitzel)

Diffraktometer



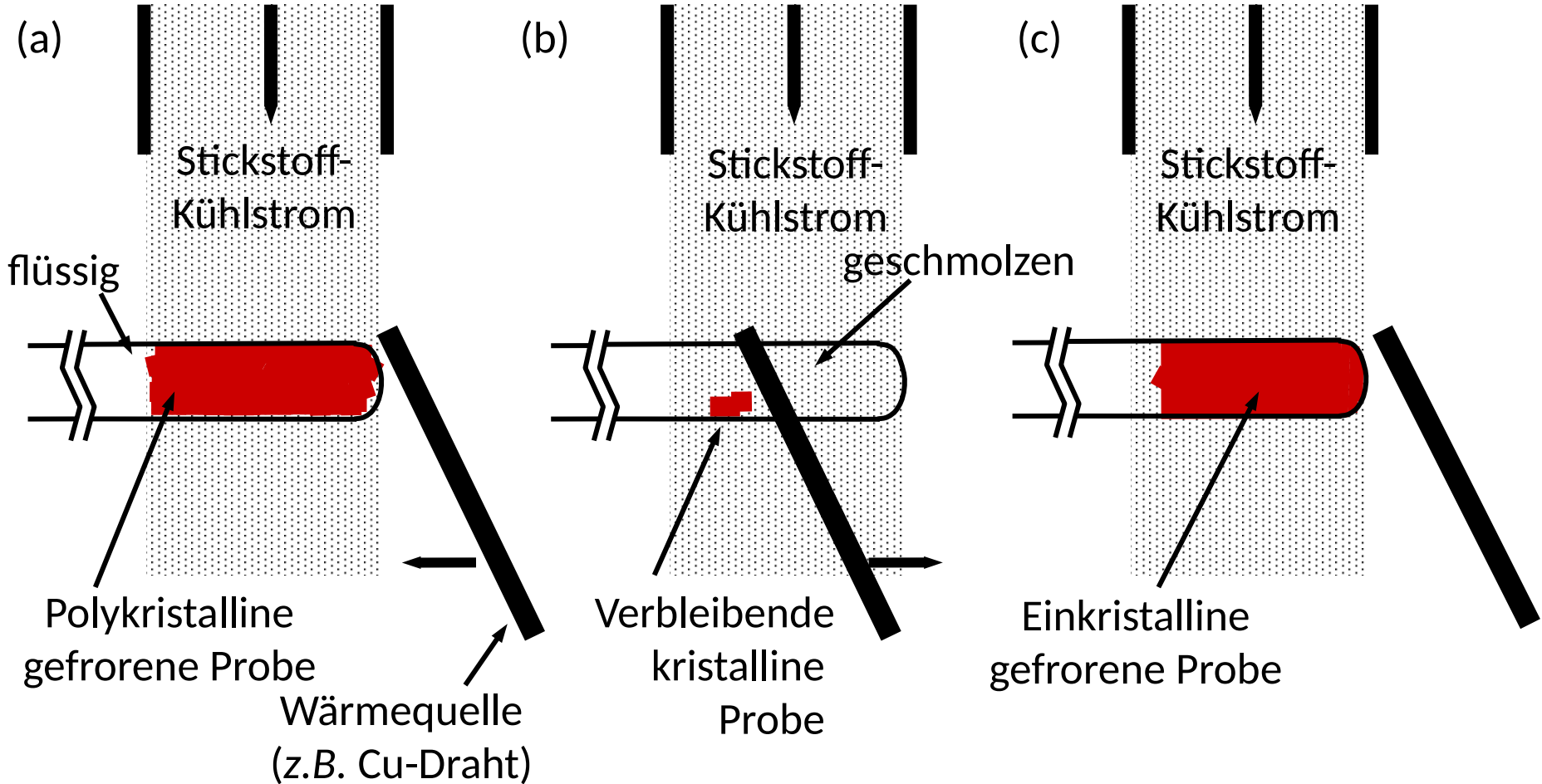
Micro-Fokus Röntgenstrahlung Quelle

Anode:	Cr	Fe	Co	Cu	Mo	Ag
K α (Å):	2.29	1.94	1.79	1.54	0.71	0.56

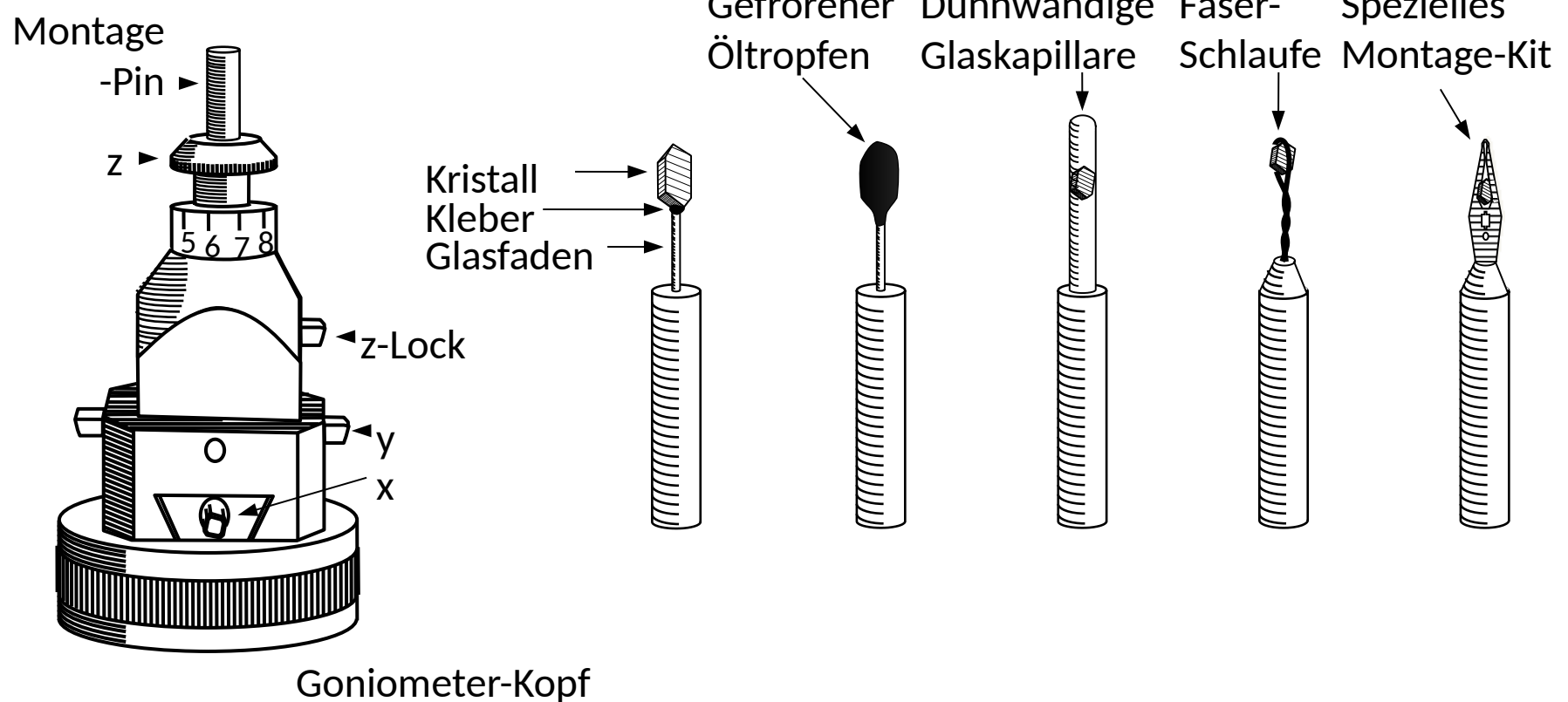


Goniometer Kopf

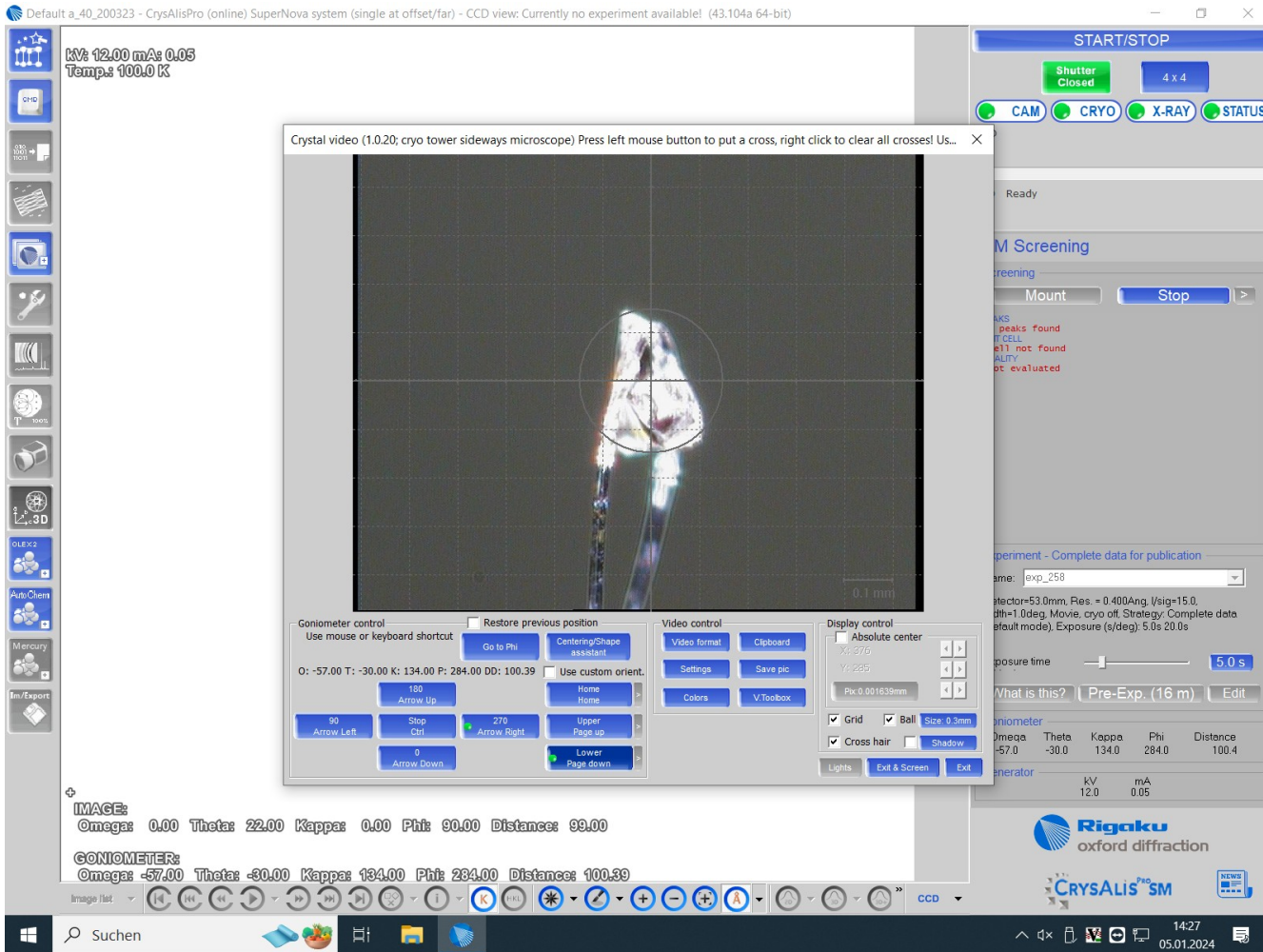
Kristallzucht



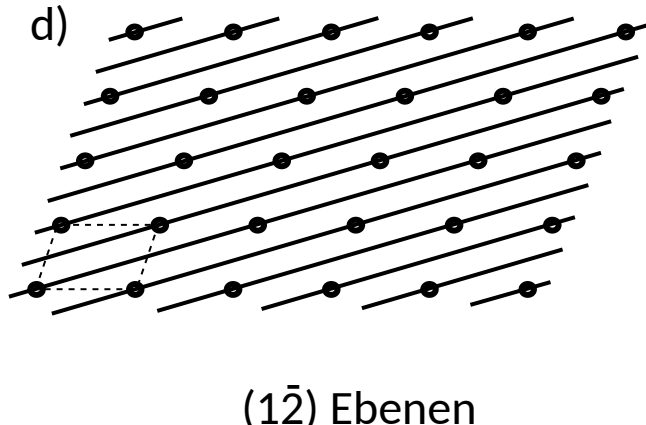
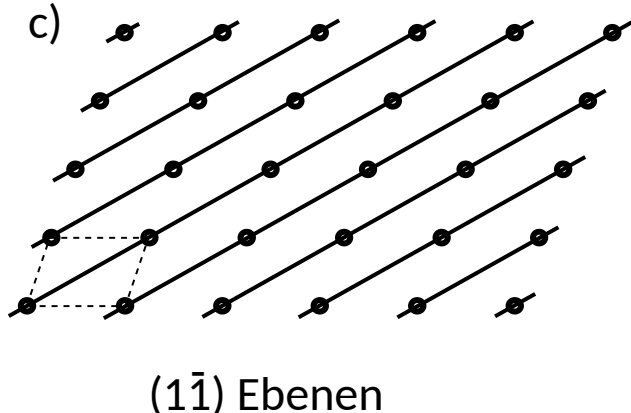
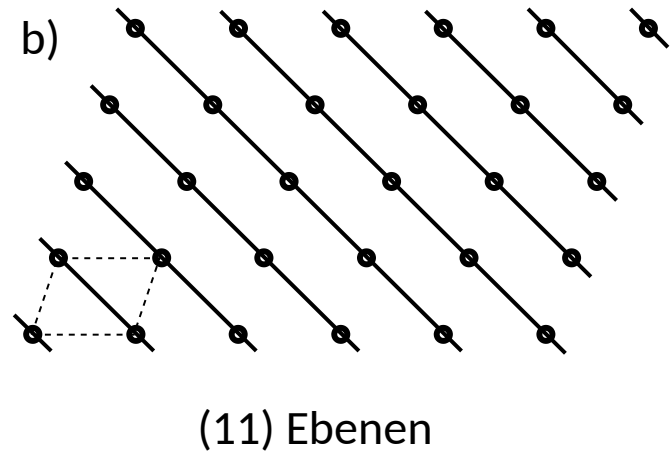
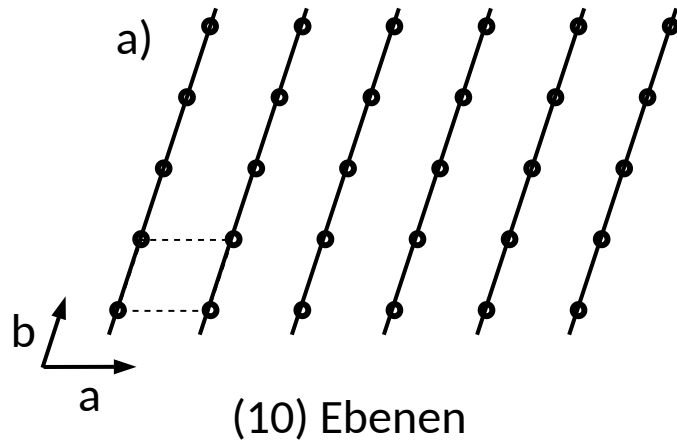
Kristall-Montage



Kristall-Montage



Indizierung, Netzebenen in 2D

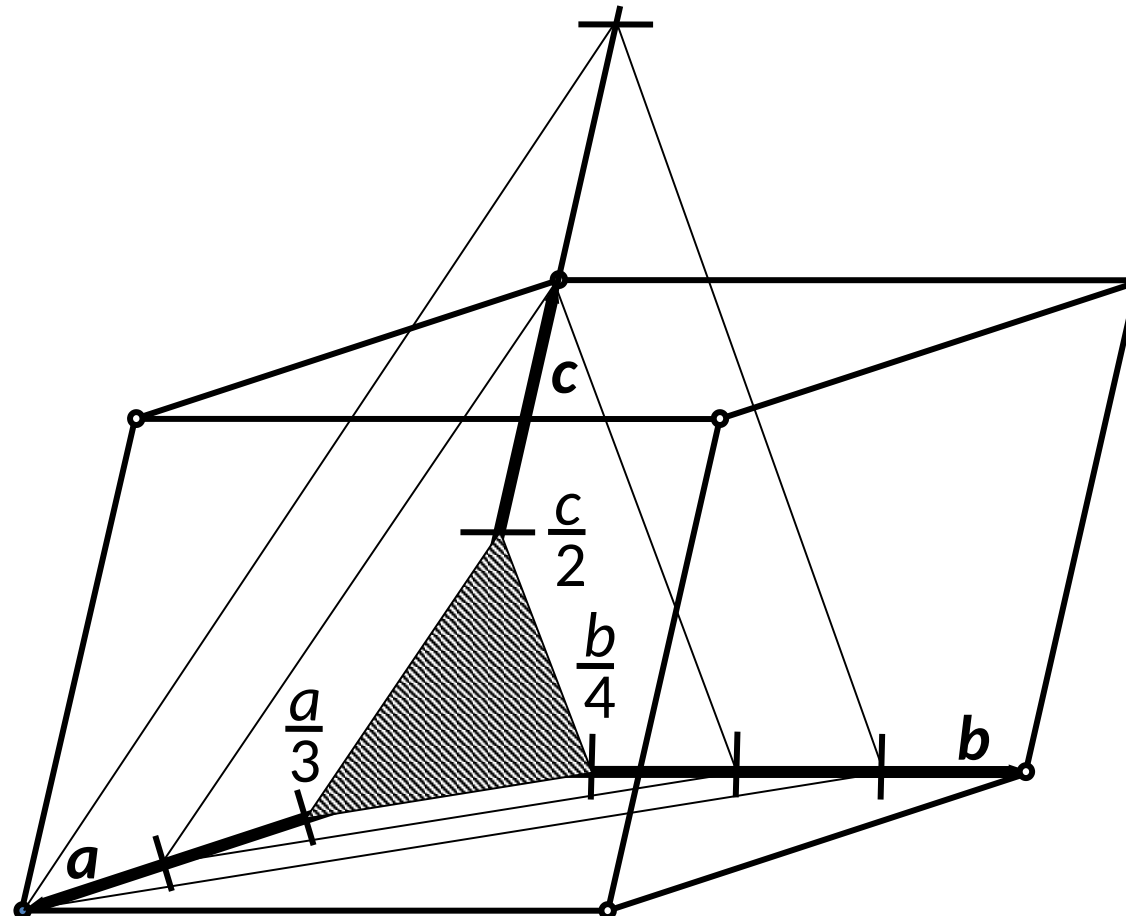


Miller'sche Indizes für Netzebenen

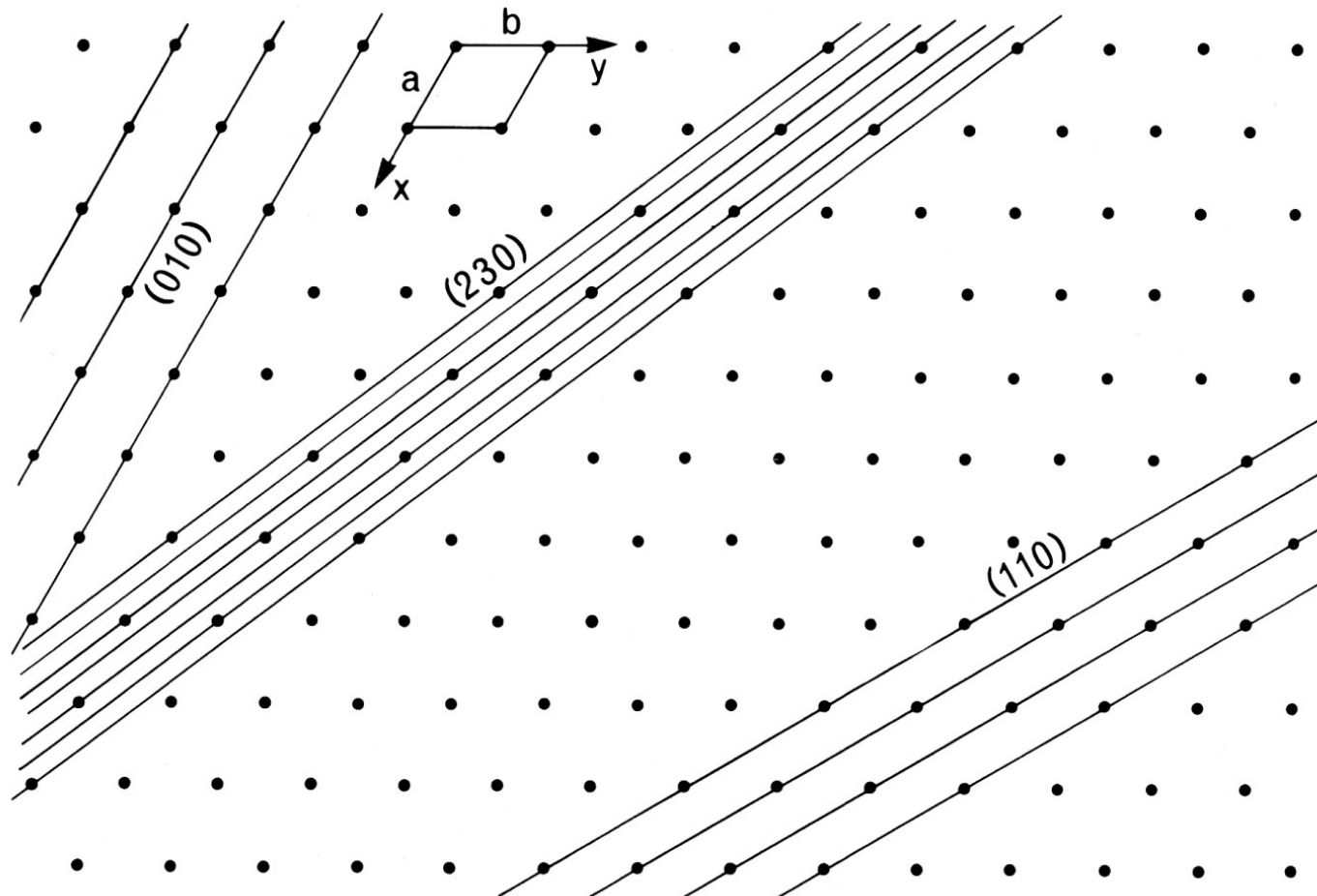
Beispiel:

$$h = 3, k = 4, l = 2$$

Ebene (3 4 2)

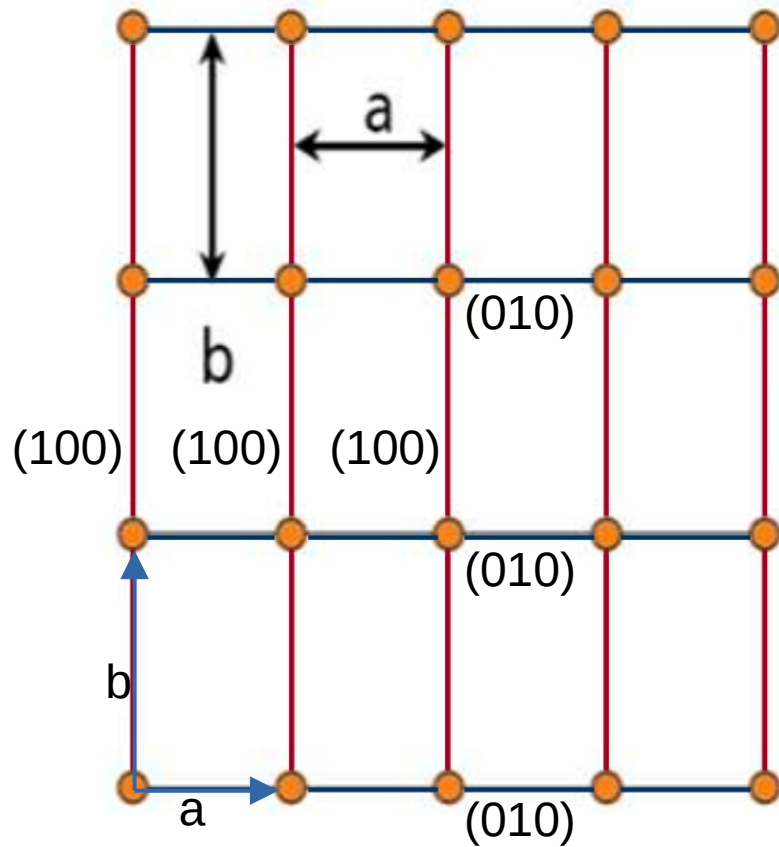


Miller'sche Indizes für Netzebenen: Graphit

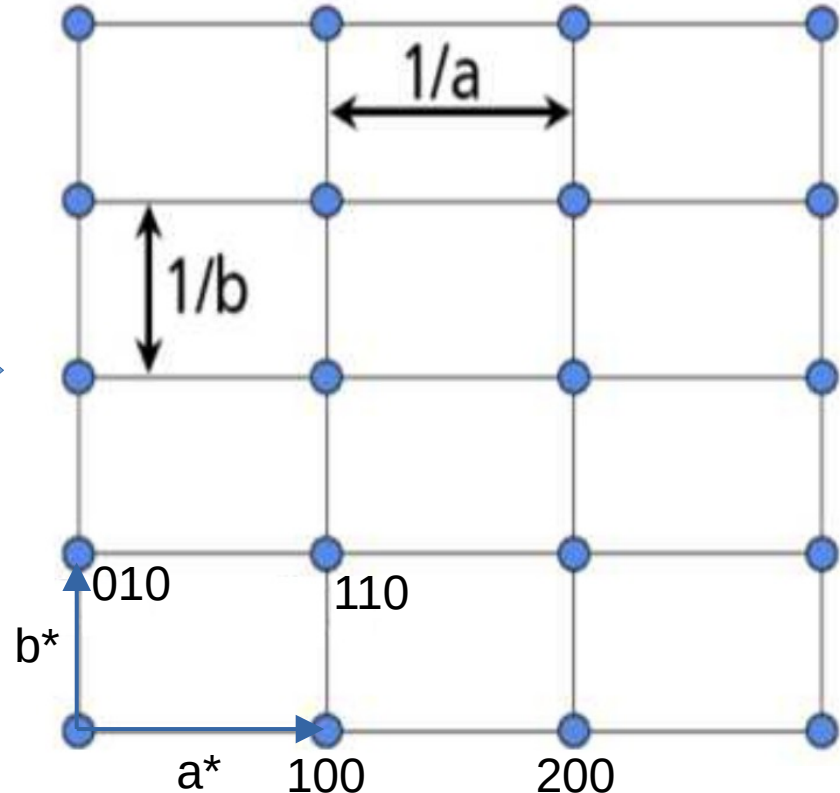


Indizierung

Kristallgitter (Netzebene)

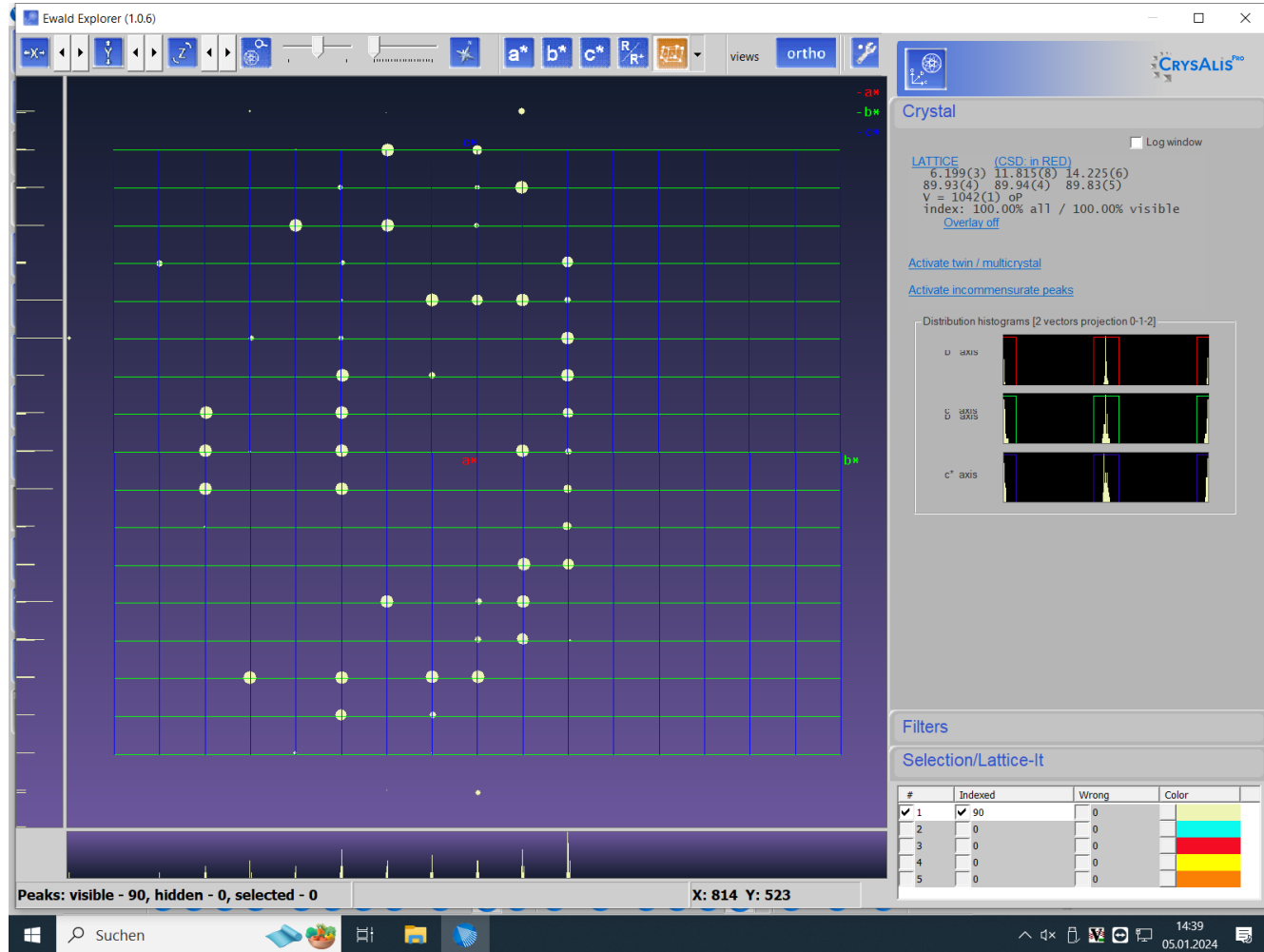


Reziprokes Gitter (Reflexe)



FT

Indizierung



Ein Beispiel – Daten-File $\text{Ti}(\text{ONMe}_2)_4$

h	k	l	INT	ESD	θ
0	0	5	0.19	0.21	0
0	0	6	1482.37	7.42	0
0	0	7	-0.27	0.27	0
0	0	8	301.38	3.12	0
0	0	9	0.21	0.31	0
0	0	10	101.36	2.01	0
0	0	11	0.20	0.40	0
0	0	12	128.75	2.66	0
0	0	13	0.51	0.43	0
0	1	13	57.66	1.97	0
0	1	12	16.73	0.99	0
0	1	11	14.55	0.88	0
0	1	10	11.79	0.77	0
0	1	9	238.71	3.07	0
0	1	8	11.96	0.67	0
0	1	7	1077.47	6.45	0
0	1	6	0.73	0.26	0
0	1	5	134.87	1.61	0
0	1	4	1.97	0.26	0
0	1	3	3.41	0.42	0
0	1	2	221.00	1.53	0
...

Ein Beispiel – Input-File Ti(ONMe₂)₄

```
TITL TiONMe24
CELL 0.71073 9.4828 9.618 7.8488 90 90 90
ZERR 2 0.0013 0.001 0.0015 0 0 0
LATT -1
SYMM -X, -Y, +Z
SYMM 0.5+X, 0.5-Y, -Z
SYMM 0.5-X, 0.5+Y, -Z
SFAC C H N O Ti
UNIT 16 48 8 8 2
```

```
L.S. 4
PLAN 20
SIZE 0.93 0.52 0.36
TEMP -123
FMAP 2
WGHT 0.1
FVAR 0.9
```

```
HKLF 4 1 0 1 0 0 0 1 1 0 0
```

```
END
```

Streuamplituden im Komplexen

Strukturfaktor $F \sim$ Intensität

Phase des Strukturfaktors F

$$|F_{hkl}| = \sqrt{A^2 + B^2}$$

$$\Phi_{hkl} = \tan^{-1}\left(\frac{B}{A}\right)$$

$$A_{hkl} = \sum_i f_i \cos[2\pi(hx_i + ky_i + lz_i)] \cdot e^{-\frac{8\pi^2 U_i \sin 2\theta}{\lambda^2}}$$

$$B_{hkl} = \sum_i f_i \sin[2\pi(hx_i + ky_i + lz_i)] \cdot e^{-\frac{8\pi^2 U_i \sin 2\theta}{\lambda^2}}$$

Strukturfaktor – Zusammenhang mit Elektronendichte $\rho(r)$

$$F_h = \int \rho(\mathbf{r}) e^{2\pi i \mathbf{h} \cdot \mathbf{r}} dV \quad \mathbf{h}: \text{Vektor aus } h, k, l$$

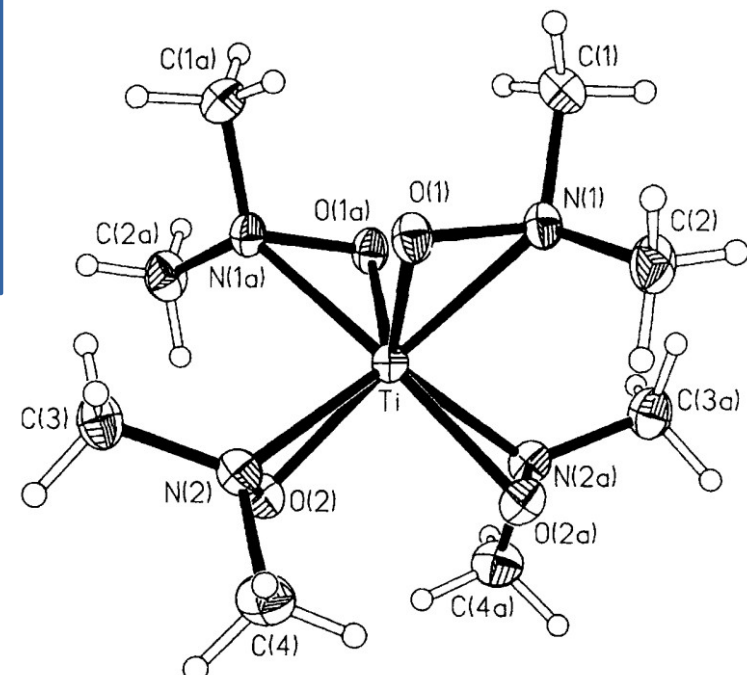
Ein Beispiel – Struktur $\text{Ti}(\text{ONMe}_2)_4$

X-Ray crystallography

Crystals were transferred and examined under inert perfluoropolyether oil (RS3000) and mounted on glass fibres. Data were collected on a Stoe Stadi-4 four-circle diffractometer fitted with an Oxford Cryosystems low-temperature device¹¹ and graphite-monochromated Mo-K α -X-radiation ($\lambda = 0.710\,73\text{\AA}$). The structures were solved for all non-H atoms by direct methods,^{12,13} and refined against F^2 with full-matrix least-squares analysis.¹⁴ The non-H atoms were refined with anisotropic thermal displacement parameters. The hydrogen atoms on the methyl groups were located in a difference synthesis and freely refined with isotropic thermal displacement parameters.

Ti(ONMe₂)₄ 1. $\text{C}_8\text{H}_{24}\text{N}_4\text{O}_4\text{Ti}$, $M = 288.21$, orthorhombic, space group $P2_12_12$, $a = 9.4828(13)$, $b = 9.618(1)$, $c = 7.849(2)$ \AA , $U = 715.9(2)$ \AA^3 , $Z = 2$, $D_c = 1.337$ g cm^{-3} , $F(000) = 308$. Colourless cuboid, $0.93 \times 0.52 \times 0.36$ mm. $T = 150(2)$ K, 2076 reflections collected (ω -2 θ scans, $-13 \leq h \leq 13$, $0 \leq k \leq 13$, $-6 \leq l \leq 11$), 1225 independent ($R_{\text{int}} = 0.0362$). Semiempirical absorption correction by ψ scans (maximum, minimum transmission factors = 0.730, 0.612). The refinement converged with a conventional R value of 0.0184 [based on F and 1188 data with $I \geq 2\sigma(I)$] and a $wR2$ value of 0.0532 (based on F^2 and all 1225 data for 127 refined parameters). In the final difference synthesis the maximum and minimum residual electron densities were 0.22 and -0.24 e \AA^{-3} , respectively. Weighting scheme employed: $w = [\sigma^2(F_o^2) + 0.0234P^2 + 0.0802P]^{-1}$, where $P = 0.333\,33(F_o^2 + 2F_c^2)$.

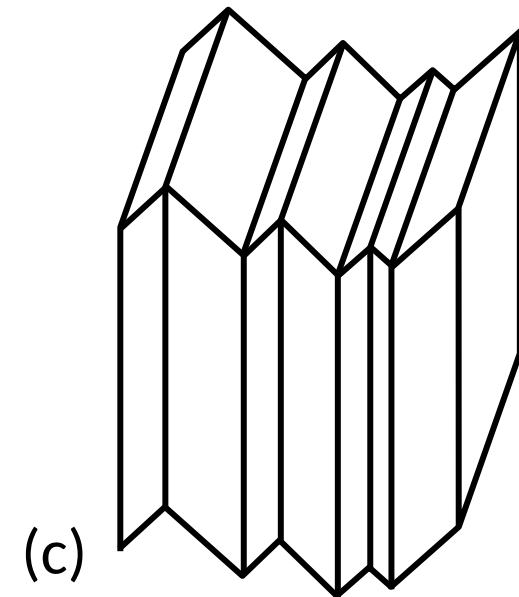
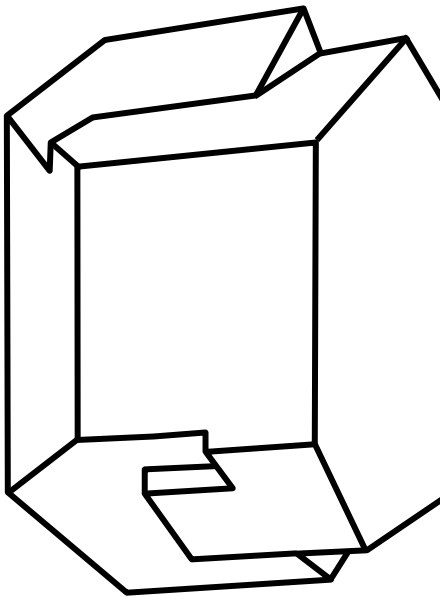
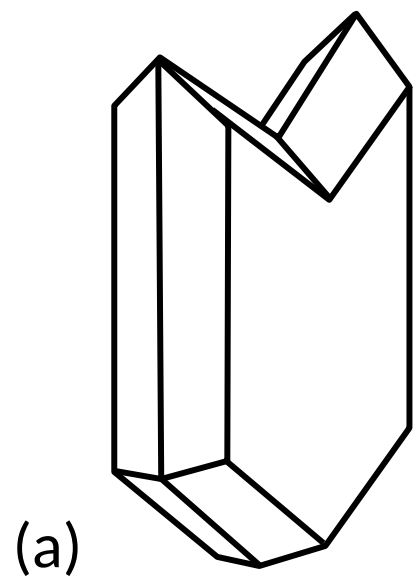
	Ti(ONMe ₂) ₄
M–O(1)	1.918(1)
M–O(2)	1.976(1)
M–N(1)	2.230(1)
M–N(2)	2.095(1)
O(1)–N(1)	1.432(1)
N(1)–C(1)	1.465(2)
N(1)–C(2)	1.468(2)
O(2)–N(2)	1.424(1)
N(2)–C(4)	1.461(2)
N(2)–C(3)	1.469(2)



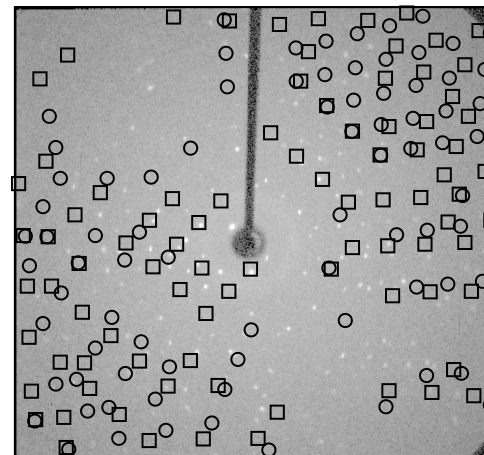
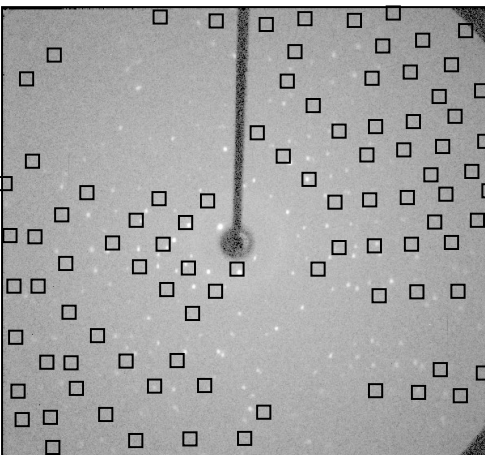
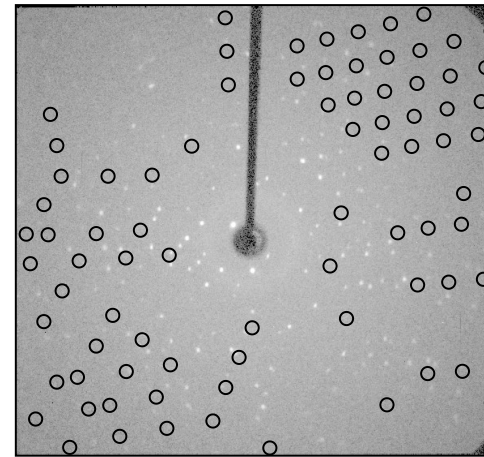
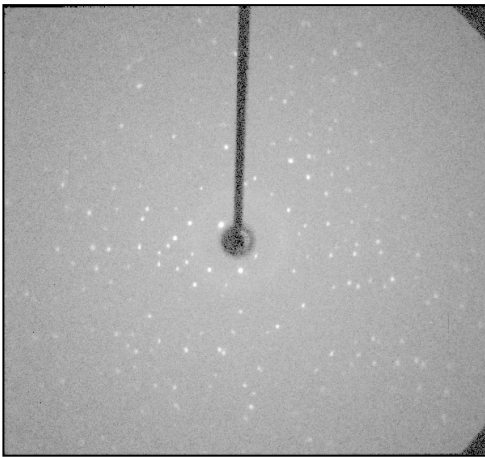
$$wR2 = \sqrt{\frac{\sum_{hkl} \left[w \left(\left| \vec{F}_{hkl}^{\text{beob}} \right|^2 - \left| \vec{F}_{hkl}^{\text{calc}} \right|^2 \right)^2 \right]}{\sum_{hkl} \left[w \left(\left| \vec{F}_{hkl}^{\text{beob}} \right|^2 \right)^2 \right]}}$$

$$R1 = \frac{\sum_{hkl} \left| \vec{F}_{hkl}^{\text{beob}} \right| - \left| \vec{F}_{hkl}^{\text{calc}} \right|}{\sum_{hkl} \left| \vec{F}_{hkl}^{\text{beob}} \right|}$$

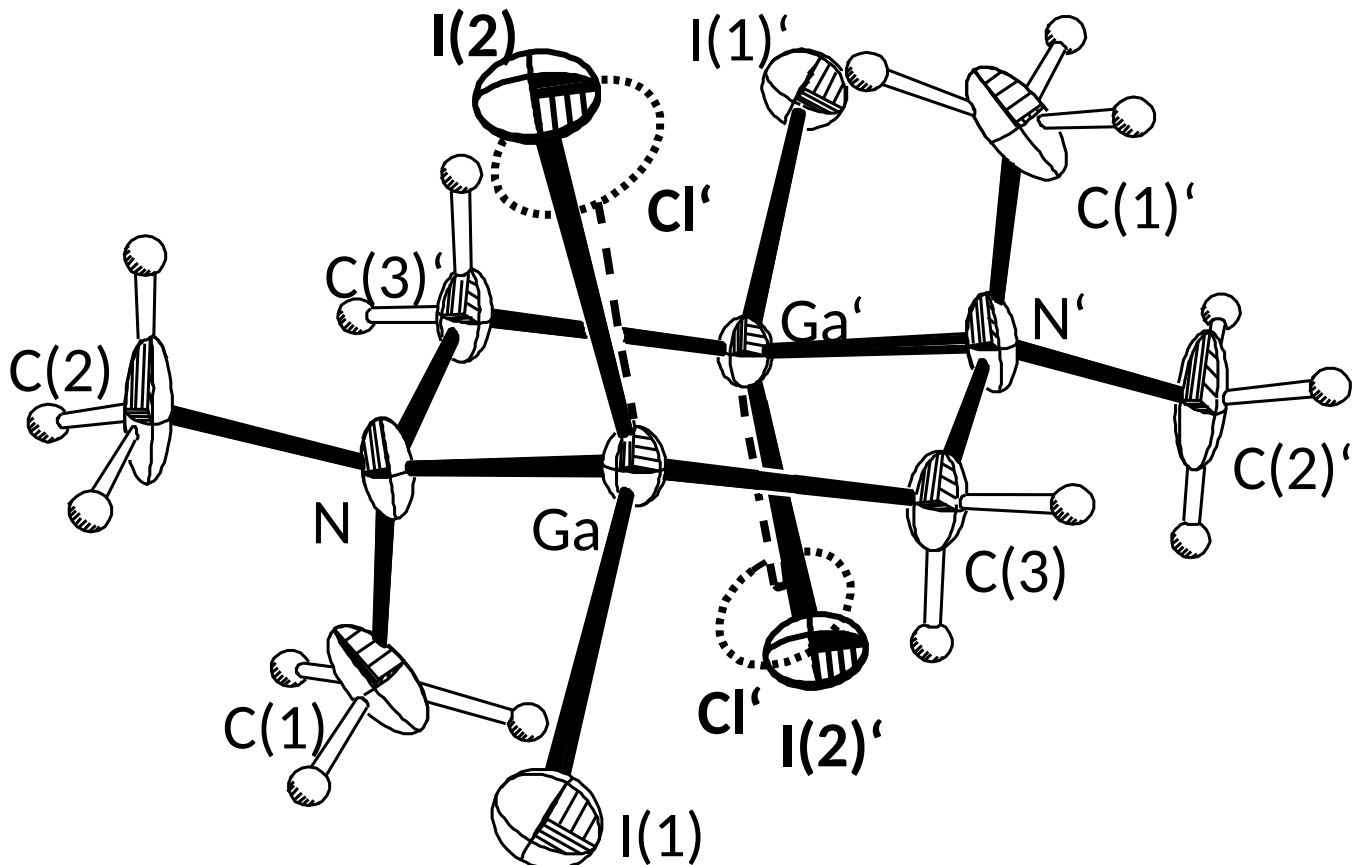
Verzwillingung



Verzwillingung – Beugungspattern



Fehlordnung



aminomethylgallium halide $[\text{Me}_2\text{NCH}_2\text{GaX}_2]_2$ ($\text{X} = \text{Cl}, \text{I}$) 48

Hilfe aus Rechnungen

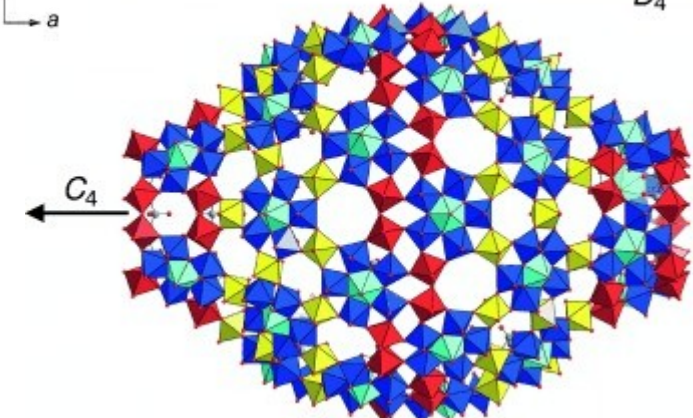
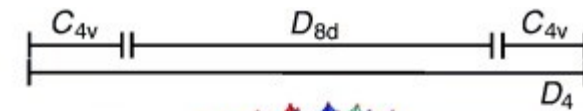
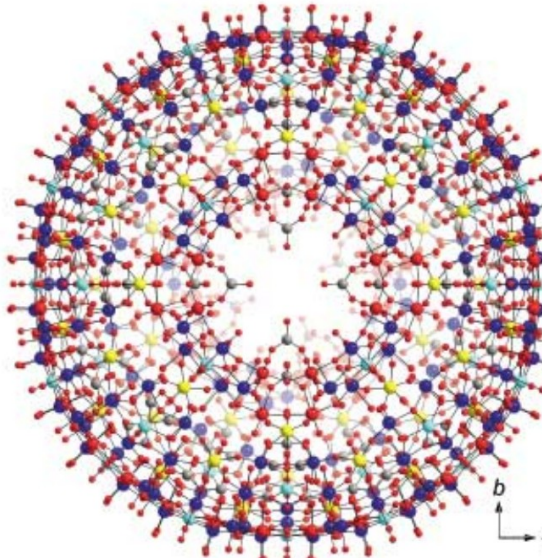
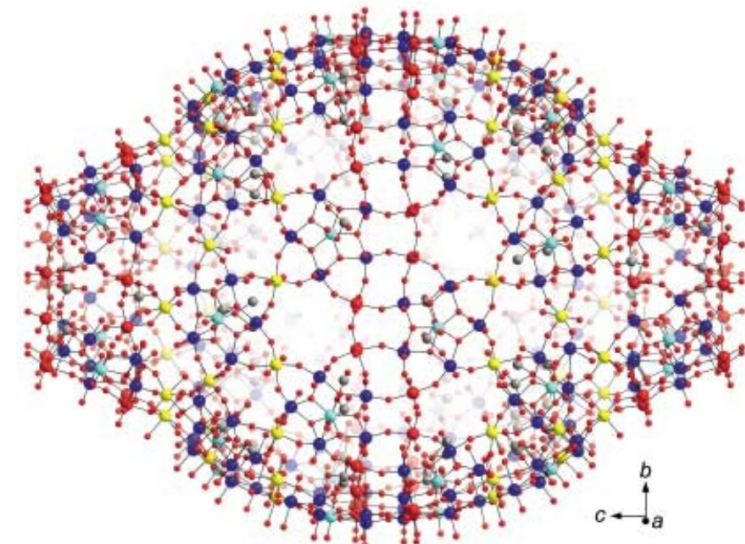
	Variante 1	Rechnungen, freie Moleküle	Rechnung, Kristall
<chem>tBu2P(O-Si(C2F5)3) + H2C=CO -> [tBu2P(O-Si(C2F5)3)-C(=O)H]2</chem>			
	Ausgewählte Bindungslängen		
	Si(1)-O(1): 1.730(9) Å	1.743(13)	1.767
	Si(1)-O(2): 1.757(20) Å	1.715(30)	1.768
	P(1)-O(1): 1.556(5) Å		1.561
	Si(1)-O(1)-P(1): 118.0(2)°		122.6
	Vergleich mit freiem FLP		
	Si(1)-O(1): 1.583(1) Å		1.596
	P(1)-O(1): 1.708(1) Å		1.693
	Si(1)-O(1)-P(1): 142.0(1)°		144.0

„Twinned crystal: component 2 rotated by 6.9842 around [0.34 -0.93 -0.16] (reciprocal) or [0.18 -0.98 -0.01] (direct). Disorder of P1, Si1, O1, O2, F1 to F5, F11 to F15, C1, C2, C5, and C6 over two sites (45:55).“

PBE0-D3BJ/def2-TZVPP

PBE-D3BJ/DZVP-MOLOPT-SR-GTH (PW+Gauss)₄₉

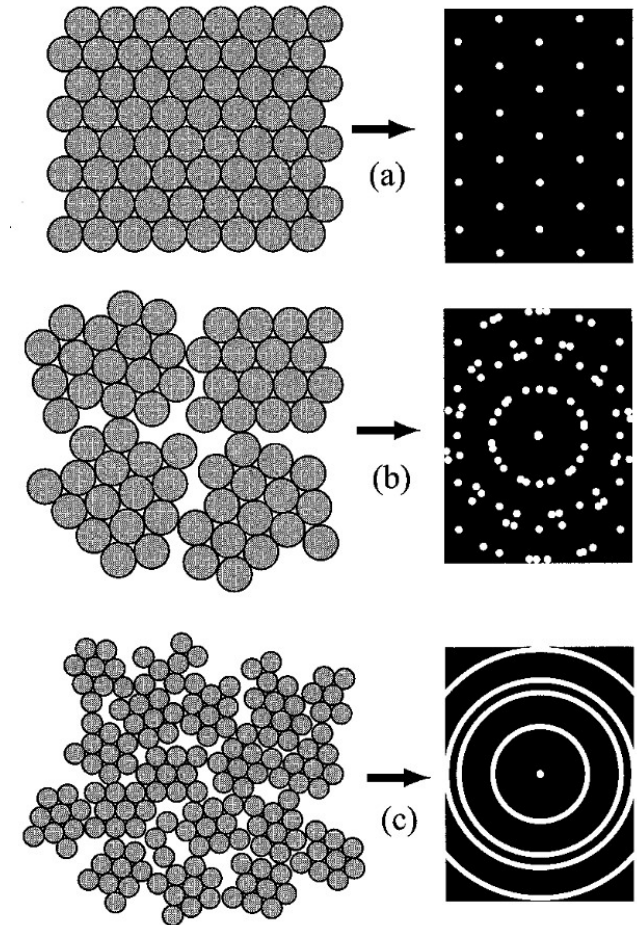
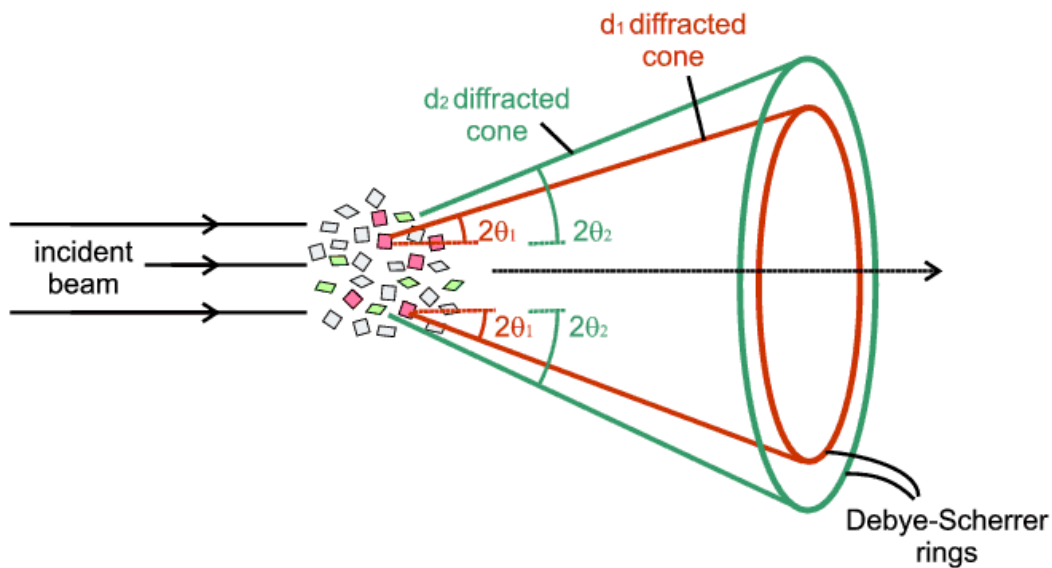
Nano-Igel $[H_xMo_{368}O_{1032}(H_2O)_{240}(SO_4)_{48}]^{48-}$



„Building units $\{Mo_1\}$ yellow, $\{Mo_2\}$ red, $\{Mo(Mo_5)\}$ blue with blue-turquoise pentagonal bipyramids; O atoms small red spheres, S atoms gray spheres.“

Pulverdiffraktion

$$n\lambda = 2d_{hkl} \sin \theta$$

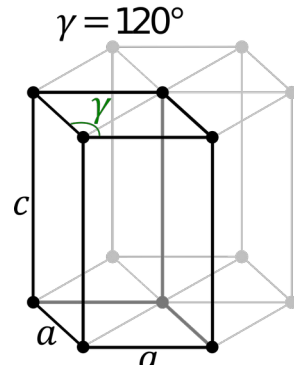


Pulverdiffraktion

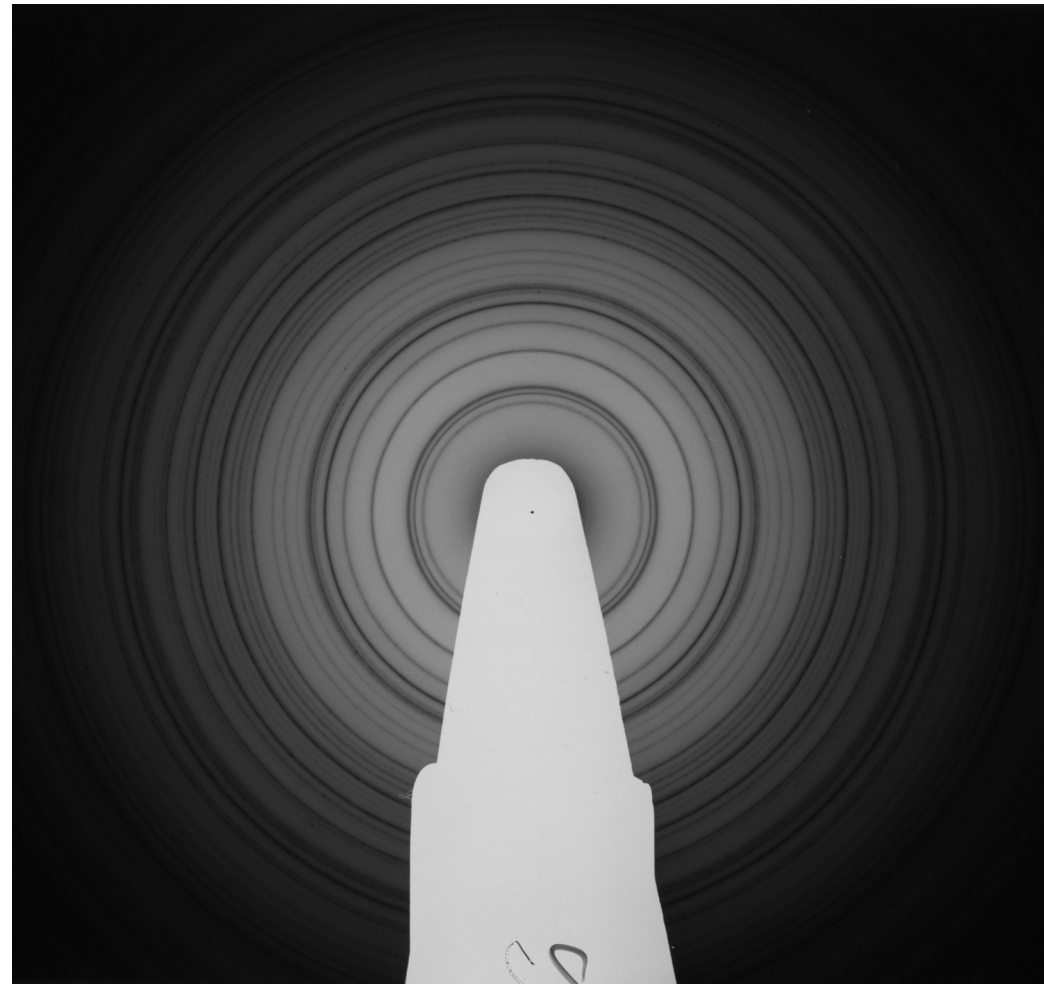
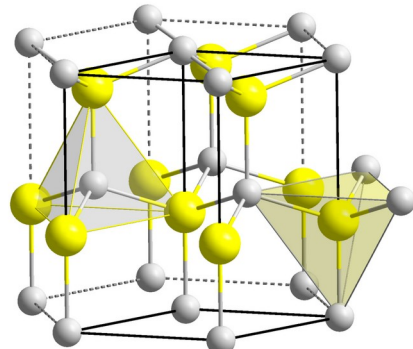
Beispiel:

ZnO
Elektronen-Beugung
 $\lambda = 0.04055 \text{ \AA}$
 $L = 598 \text{ mm}$

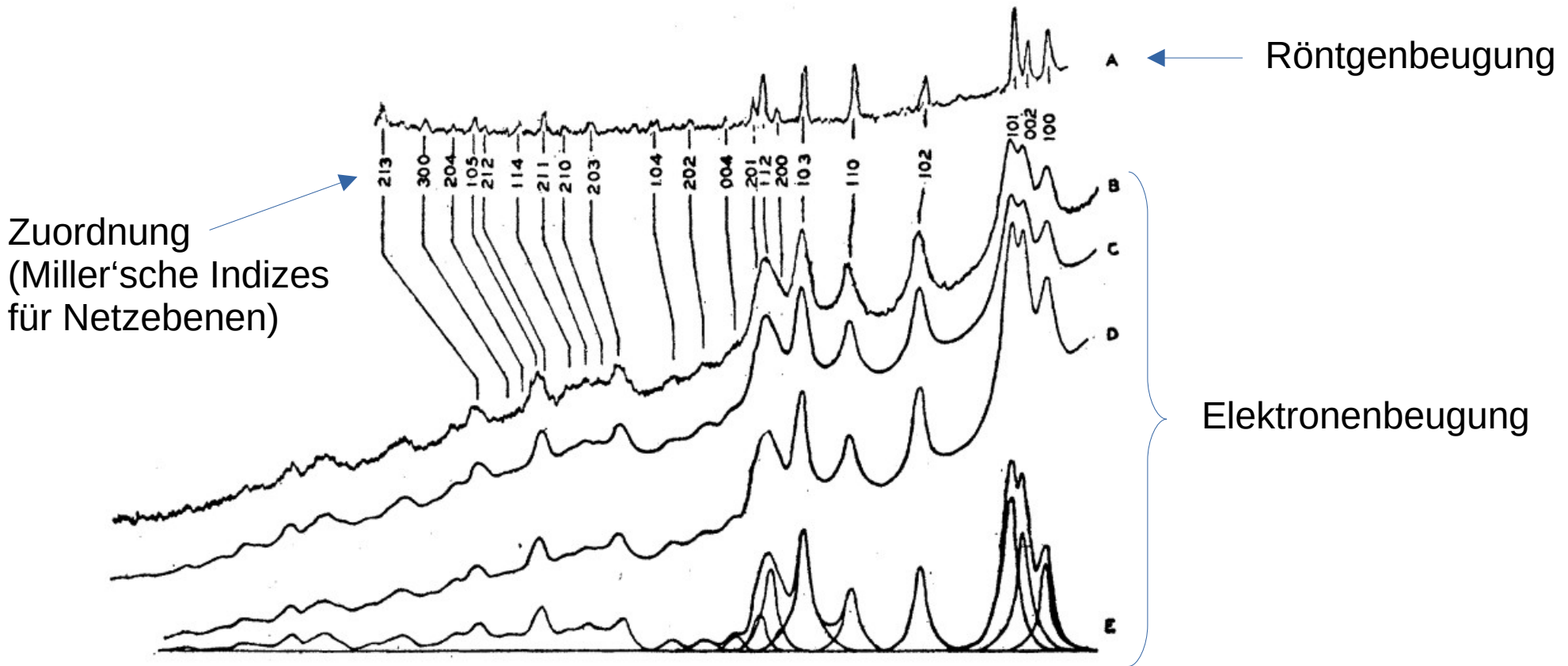
$P6_3mc$



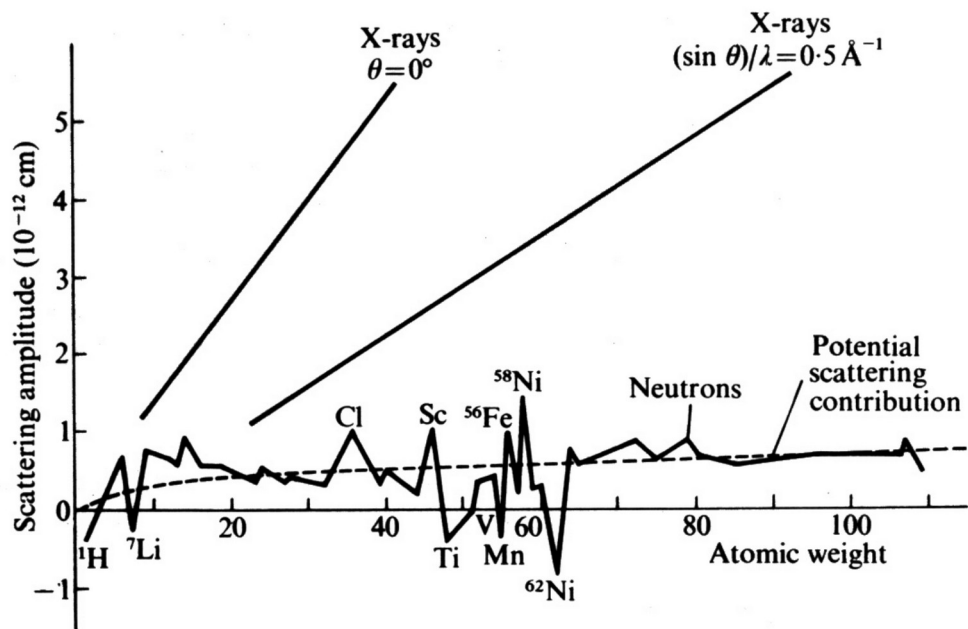
$$a = 3.2495 \text{ \AA}$$
$$c = 5.2069 \text{ \AA}$$



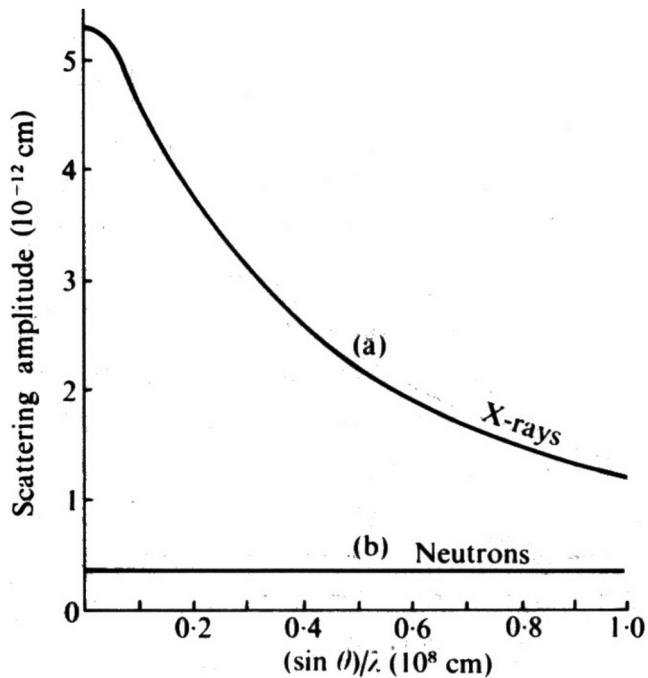
Pulverdiffraktion: Zinkoxid



Neutronendiffraktion

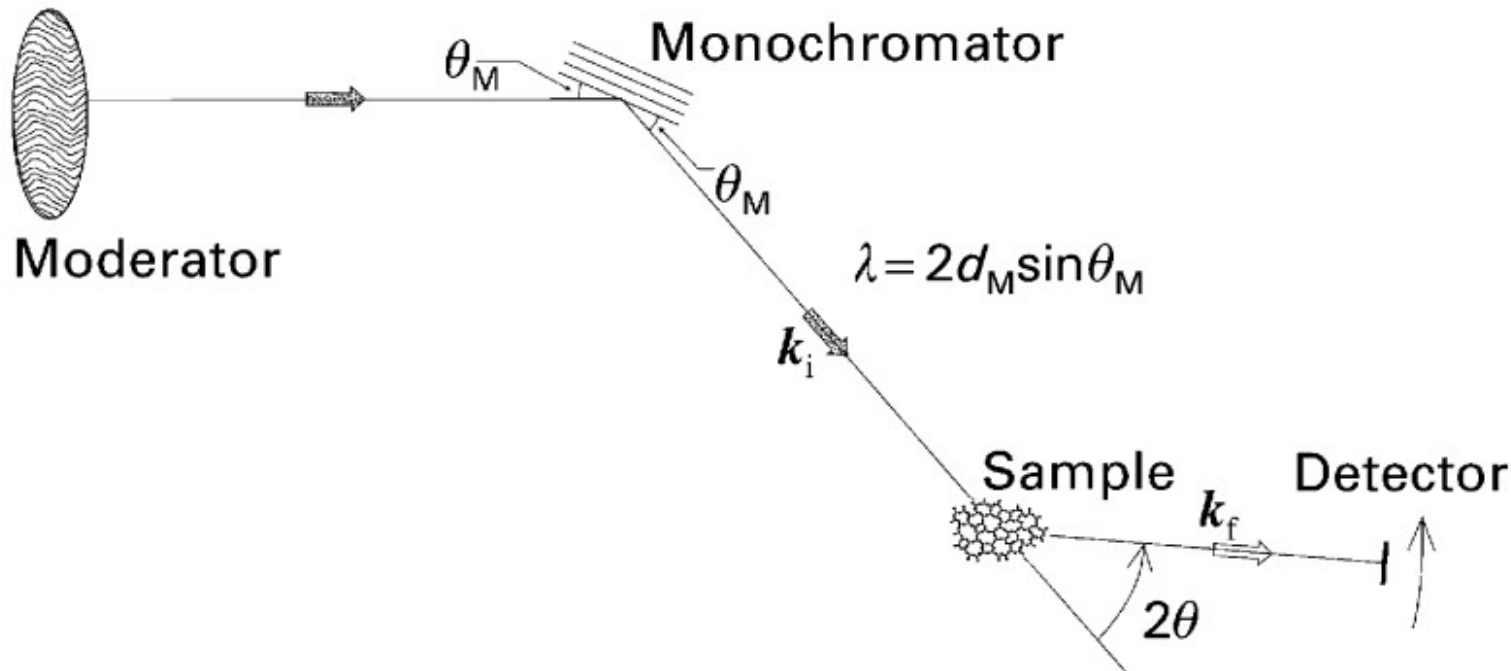


Irregular variation of neutron scattering amplitude with atomic weight due to superposition of 'resonance scattering' on the slowly increasing 'potential scattering'; for comparison the regular increase for X-rays is shown. (From *Research (London)* 7, 257 (1954).)

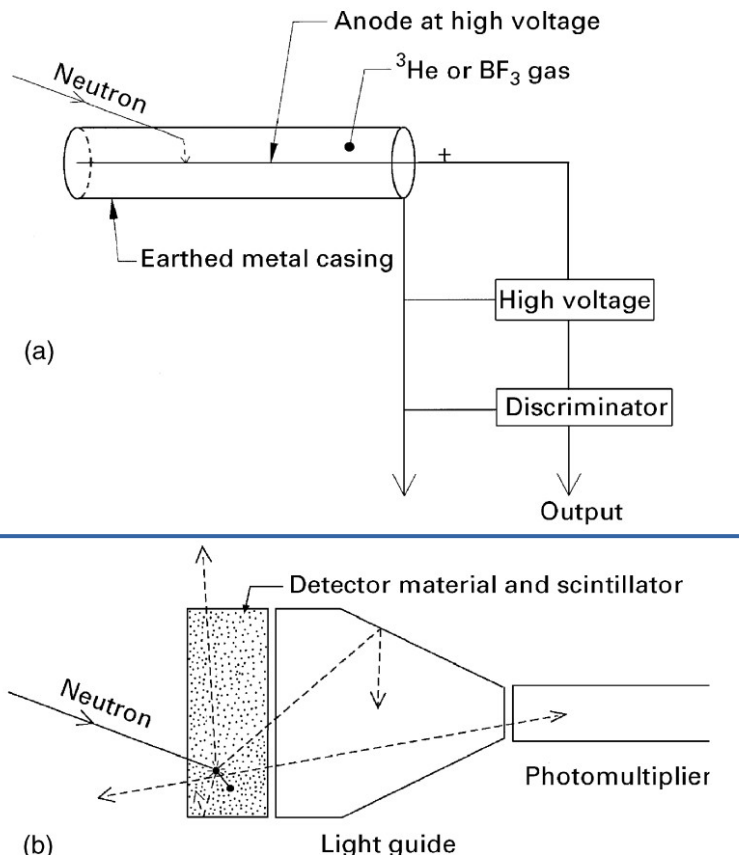


X-ray and neutron scattering amplitudes for a potassium atom.

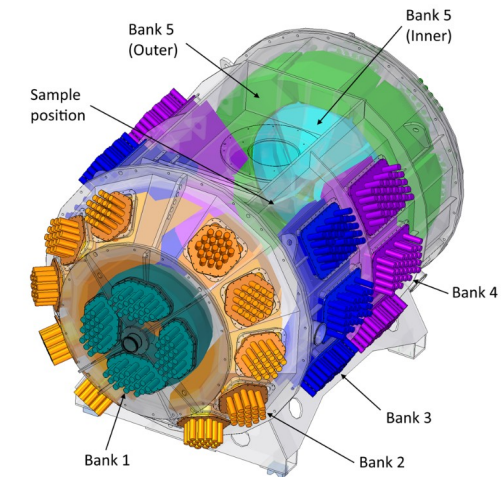
Neutronendiffraktion



Neutronendiffraktion: Detektor



Gas Detektor



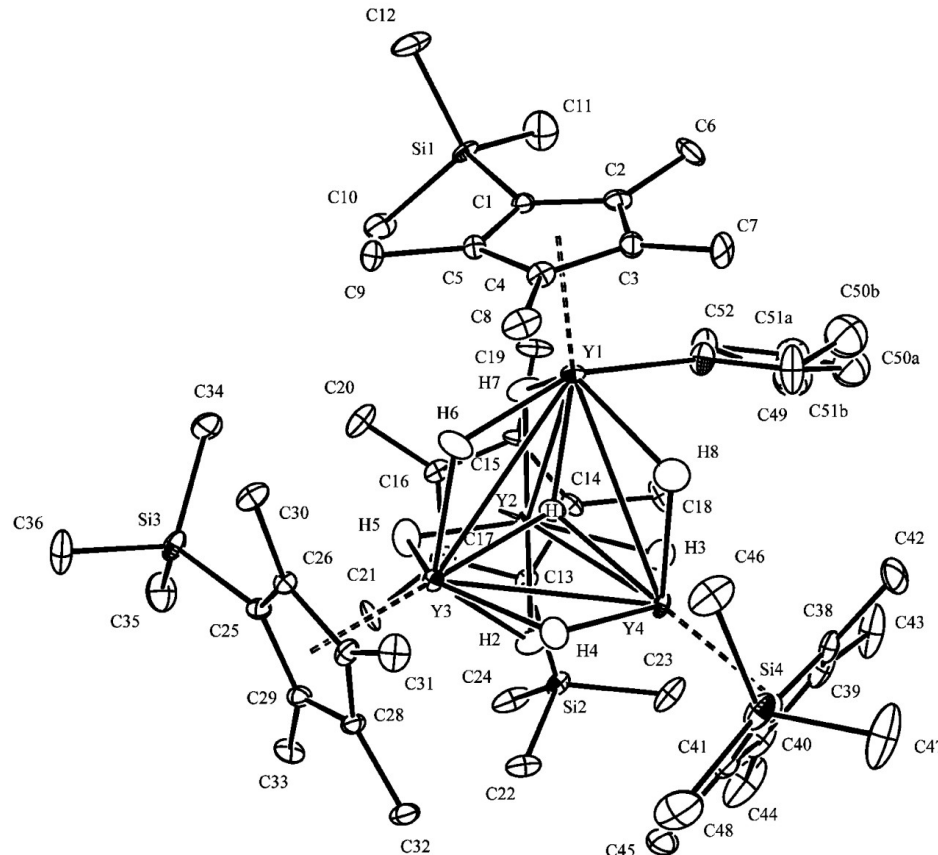
Scintillator Detektor

z.B. ZnS scintillator-based
[Rutherford Appleton
Laboratory (UK) $6^\circ \leq 2\theta \leq 168^\circ$]

ND, ein Beispiel: $\text{Y}_4\text{H}_8(\text{Cp}')_4(\text{THF})$

Neutron Crystallographic Data for
[(C₅Me₄SiMe₃)YH₂]₄(THF)

empirical formula	C ₅₂ H ₁₀₀ OSi ₄ Y ₄
fw	1209.36
cryst syst	triclinic $P\bar{1}$
Z	2
VIVALDI (ILL)	SXD (ISIS)
a = 13.009(2) Å	a = 12.988(2) Å
b = 13.146(2) Å	b = 13.134(2) Å
c = 19.688(4) Å	c = 19.626(3) Å
α = 80.526(3)°	α = 80.443(11)°
β = 86.782(3)°	β = 86.673(10)°
γ = 74.290(2)°	γ = 74.379(10)°
V	3196.7(9) Å ³
T	150(2) K
cryst size	2.0 × 2.0 × 1.0 mm ³
wavelength range	0.9–2.7 Å
min d spacing	0.72 Å
observed	
no. of patterns	13
data-collection time	13 h
no. of reflns collected	18 589
no. of unique reflns	4900
no. of params refined	1434
no. of reflns (I > 2σ)	3566
final R[I > 2σ(1) data]	R1 = 0.1094 wR2 = 0.2347
	R1 = 0.0885 wR2 = 0.2240

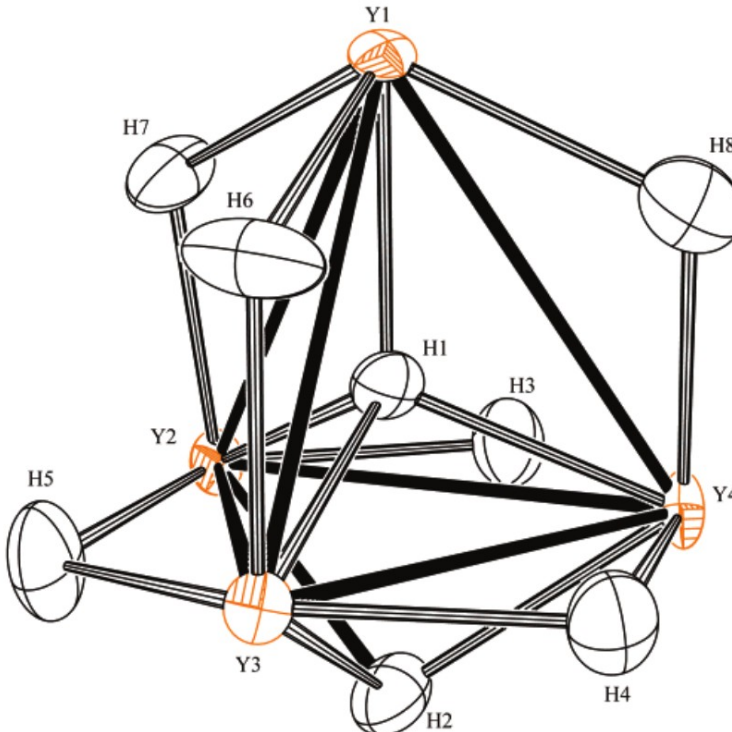


M. Yousufuddin, M. J. Gutmann, J. Baldamus, O. Tardif, Z. Hou, S. A. Mason, G. J. McIntyre, R. Bau,
J. Am. Chem. Soc. 2008, 130, 3888–3891.

ND, ein Beispiel: $\text{Y}_4\text{H}_8(\text{Cp}')_4(\text{THF})$

Key Distances and Angles in the Y_4H_8 Cores (the ILL Data Represent Results from the VIVALDI Instrument, whereas the ISIS Data Represent Results from the SXD Instrument)

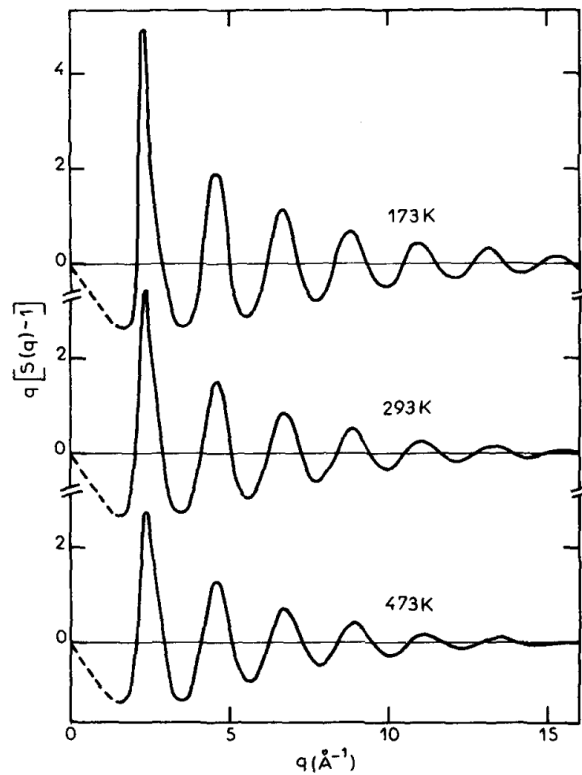
	ILL results	ISIS results
Y-Y Distances		
Y(1)-Y(2)	3.670(6)	3.685(4)
Y(1)-Y(3)	3.702(5)	3.699(4)
Y(1)-Y(4)	3.683(5)	3.695(3)
avg	3.685	3.693
Y-(central H) Distances		
Y(1)-H(1)	2.163(10)	2.179(6)
Y(2)-H(1)	2.189(9)	2.187(7)
Y(3)-H(1)	2.229(8)	2.222(6)
Y(4)-H(1)	2.195(7)	2.198(6)
avg	2.193	2.197
Y-(face-bridging H) Distances		
Y(2)-H(2)	2.342(8)	2.344(6)
Y(3)-H(2)	2.368(9)	2.348(7)
Y(4)-H(2)	2.329(9)	2.339(8)
avg	2.346	2.344
Y-(edge-bridging H) Distances		
Y(2)-H(3)	2.216(8)	2.203(7)
Y(4)-H(3)	2.196(8)	2.202(7)
Y(3)-H(4)	2.133(8)	2.142(7)
Y(4)-H(4)	2.139(8)	2.123(7)
Y(2)-H(5)	2.127(8)	2.135(8)
Y(3)-H(5)	2.149(8)	2.127(8)
Y(1)-H(6)	2.203(8)	2.189(7)
Y(3)-H(6)	2.138(10)	2.132(7)
Y(1)-H(7)	2.182(9)	2.184(8)
Y(2)-H(7)	2.165(11)	2.184(7)
Y(1)-H(8)	2.197(8)	2.203(8)
Y(4)-H(8)	2.191(11)	2.171(9)
avg	2.170	2.166
H(1)...H(2)	2.175(14)	2.153(9)



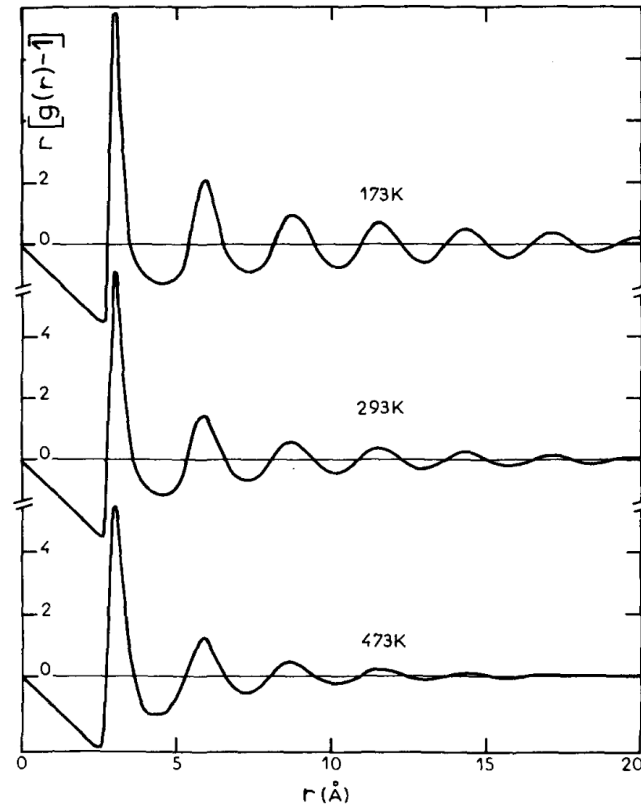
M. Yousufuddin, M. J. Gutmann, J. Baldamus, O. Tardif, Z. Hou, S. A. Mason, G. J. McIntyre, R. Bau, *J. Am. Chem. Soc.* 2008, 130, 3888–3891.

Beugung an Flüssigkeiten

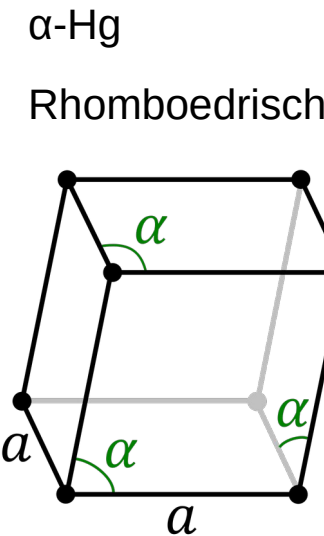
Z.B. Röntgenbeugung am flüssigen Quecksilber bei $T = 173 - 473$ K



FT
→



Beugung am flüssigen Quecksilber



$r(\text{Hg—Hg})$:
Krystall: $6 \times 3.00 \text{ \AA}$
 $6 \times 3.47 \text{ \AA}$

Flüssigkeit: 3.00 \AA

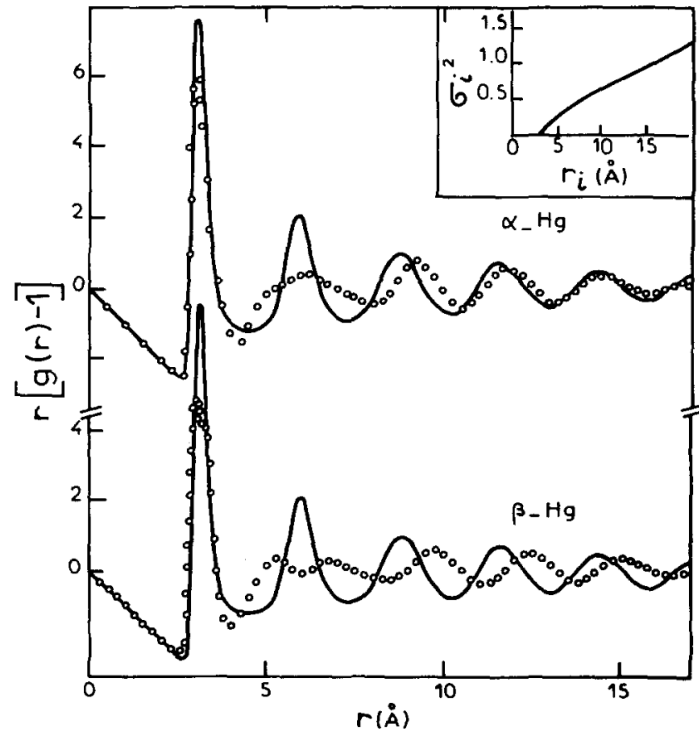
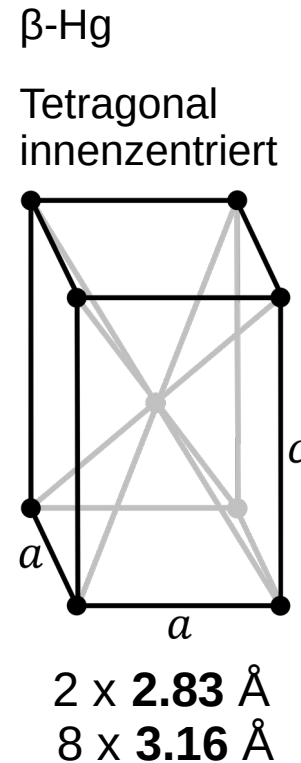
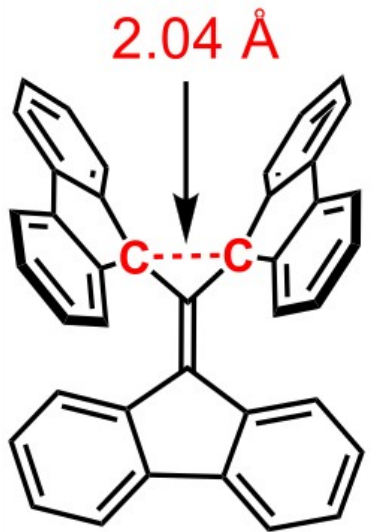


FIG. 6. Comparison between the radial distribution functions $r[g(r)-1]$ observed at 173 K (full line) and those computed from the relaxed structures of α -Hg and β -Hg phases (open circles). In the inset, we have drawn the function relating the variance σ_t^2 to the distance r_t .

Ergebniss: fl. Hg ist näher zu α -Hg

Molekül(e) des Tages



$$\Delta\rho = 0.03 \text{ e}/\text{\AA}^3$$

$$\lambda = 518 \text{ nm}$$

$$\delta(^{13}\text{C}) = 82.9 \text{ ppm}$$

$$\text{WBI} = 0.485$$

$$\Delta E(\text{S-T}) = 138 \text{ kJ/mol}$$

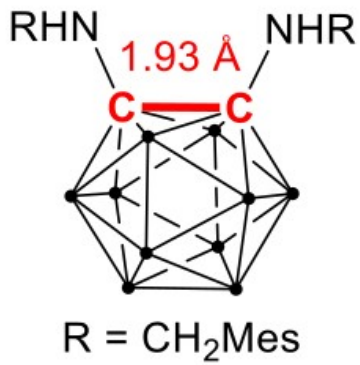
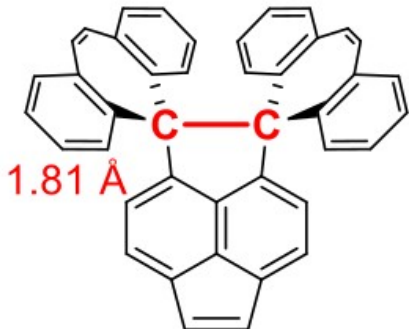
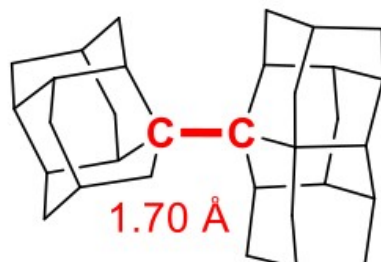
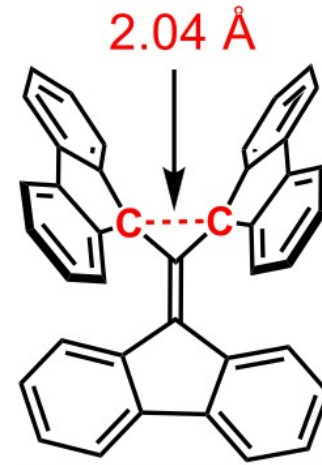
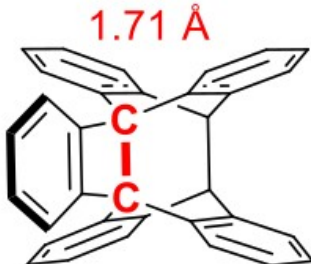
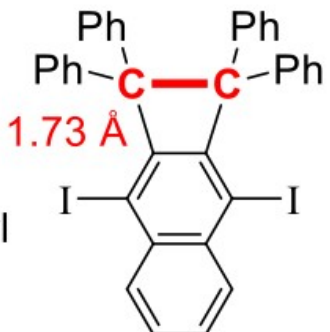
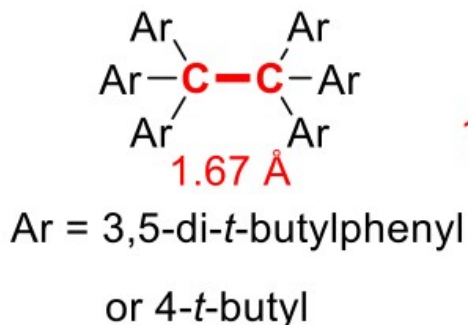
$$\text{Diradical Index} = 12.8\%$$

Long Carbon–Carbon Bonding beyond 2 Å in Tris(9-fluorenylidene)methane

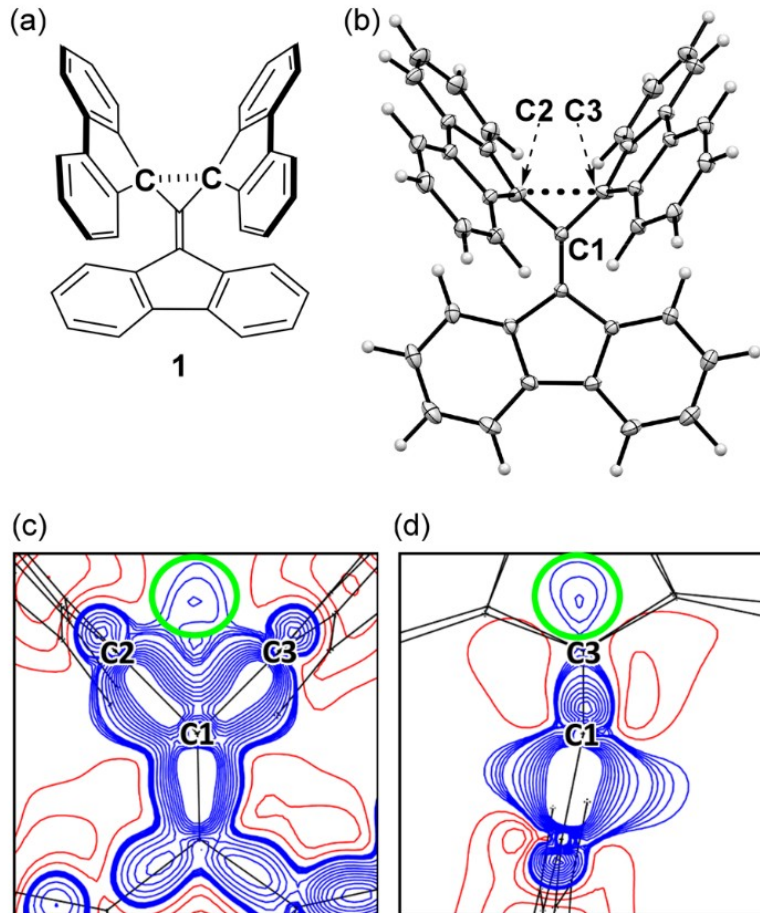
Takashi Kubo,* Yuki Suga, Daisuke Hashizume,* Hiroki Suzuki, Tatsuya Miyamoto, Hiroshi Okamoto, Ryohei Kishi, and Masayoshi Nakano

J. Am. Chem. Soc. 2021, 143, 14360–14366

Lange C–C Bindungen

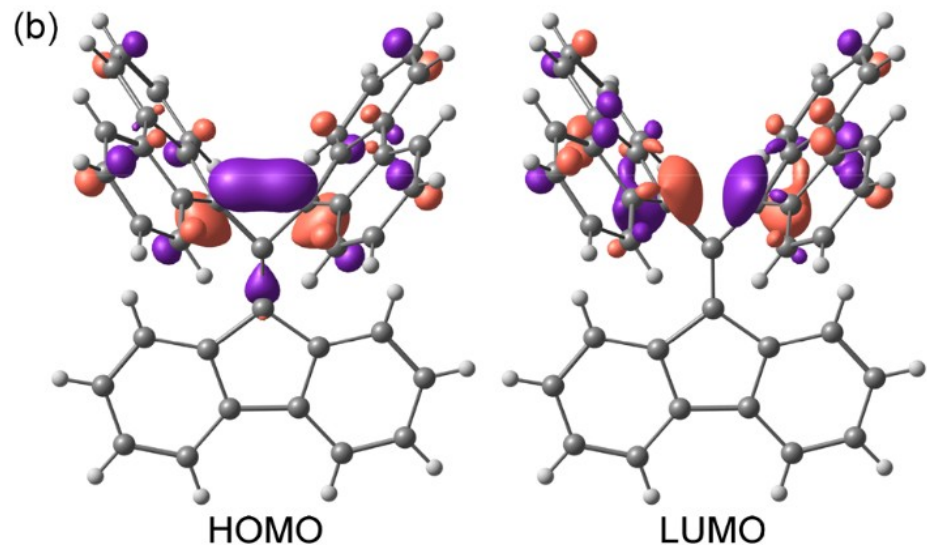
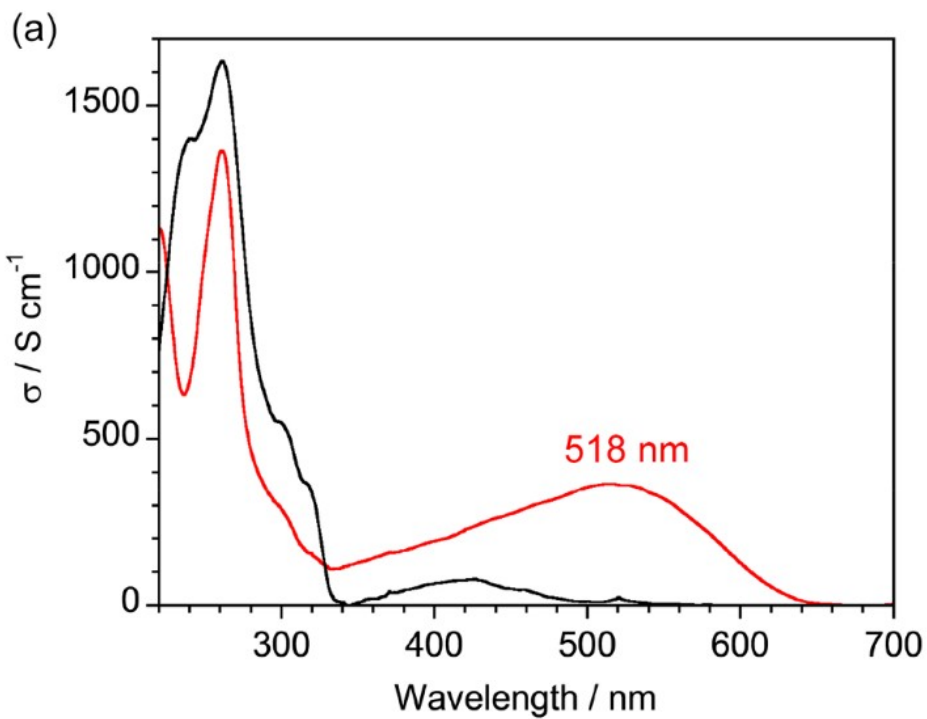


Elektronen-Dichte-Analyse

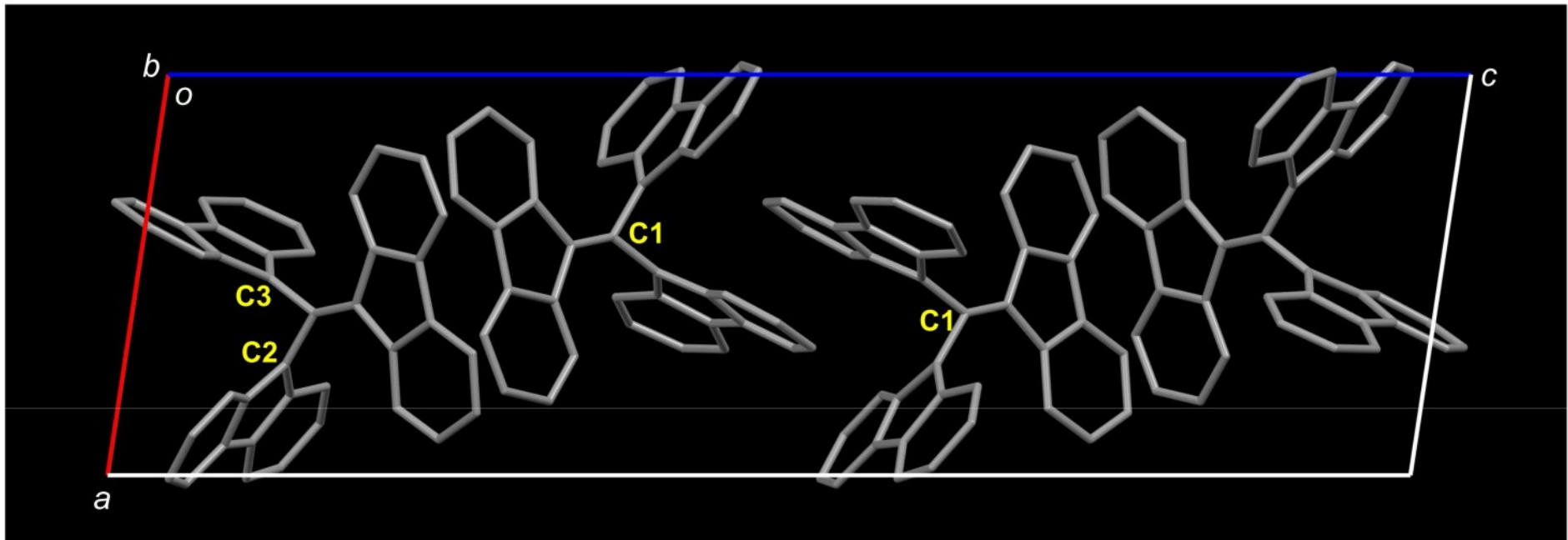


(a) Chemical structure of 1. (b) An ORTEP drawing of 1 at 90 K. Thermal ellipsoids are drawn at the 50% probability level. (c) Static model deformation density maps on the C1–C2–C3 plane, and (d) cross-sectional view of the C1–C2–C3 plane along the line connecting C1 and the midpoint between the C2 and C3 atoms. The concentration of electron density between C2 and C3 is marked by a green circle. The blue lines represent positive contours from 0.01 to $0.05 \text{ e } \text{\AA}^{-3}$ in steps of $0.01 \text{ e } \text{\AA}^{-3}$ and from 0.10 to $0.50 \text{ e } \text{\AA}^{-3}$ in steps of $0.05 \text{ e } \text{\AA}^{-3}$. The red lines represent negative contours from -0.05 to -0.50 in steps of $-0.05 \text{ e } \text{\AA}^{-3}$.

UV/Vis-Spektroskopie



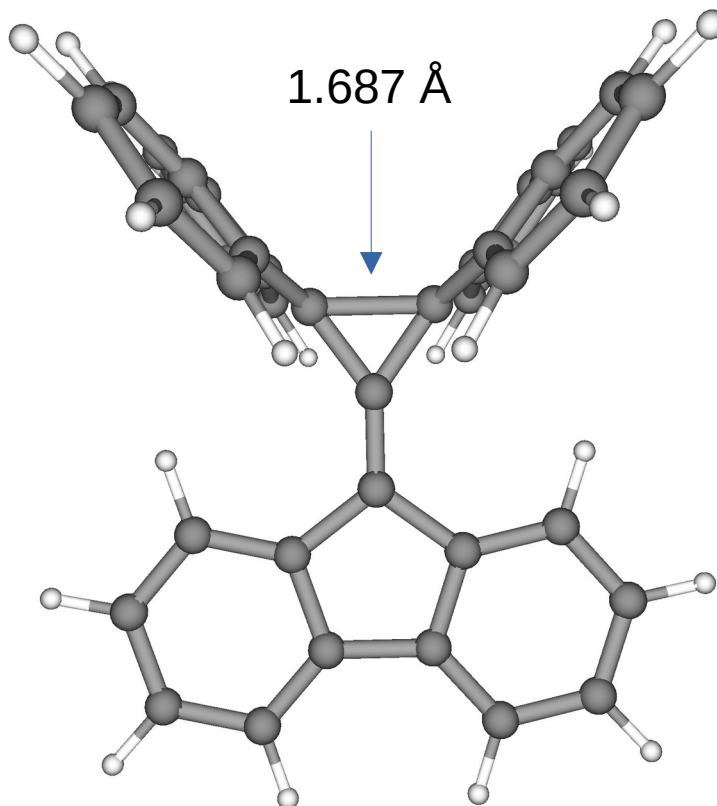
Packung im Kristall



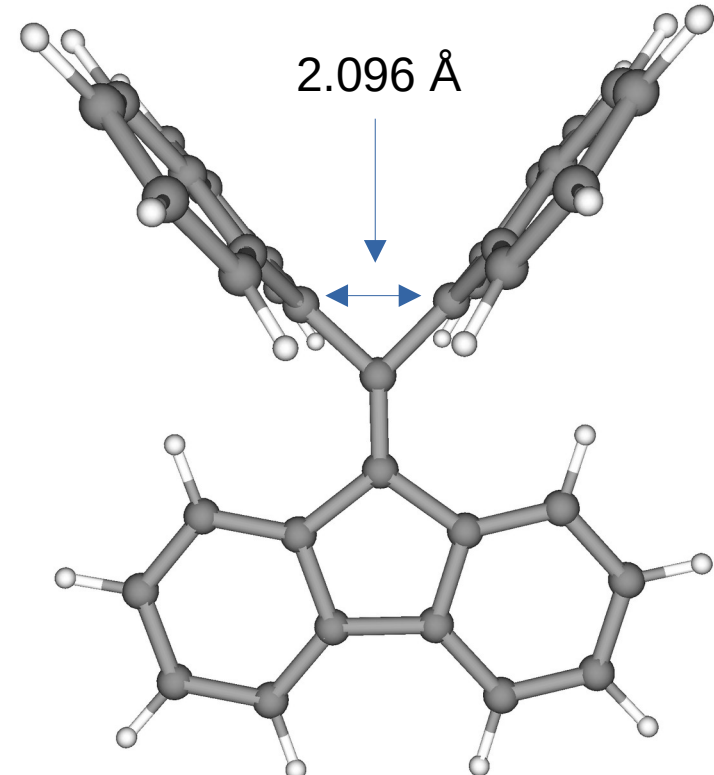
Rechnungen für freies Molekül

DFT method	Basis set	Interatomic distance ^b (d_{C2-C3}) / Å	Bond angle ^b ($\theta_{C2-C1-C3}$) / °
B3LYP	6-31G*	1.791	75.89
B3LYP	6-31G**	1.794	76.01
B3LYP	6-311G**	1.810	76.90
B3LYP-D3	6-31G*	1.801	76.69
B3LYP-D3	6-31G**	1.804	76.86
B3LYP-D3	6-31+G**	1.802	76.70
B3LYP-D3	6-311G*	2.047	89.25
B3LYP-D3	6-311G**	2.048	89.33
B3LYP-D3	6-311+G**	2.048	89.32
B3LYP-D3	cc-pVDZ	2.071	90.20
B3LYP-D3	cc-pVTZ	2.043	89.27
B3LYP-D3(BJ)	6-31G*	2.108	92.42
B3LYP-D3(BJ)	cc-pVTZ	2.100	92.26
B3PW91-D3	6-311G*	1.726	73.17
B3PW91-D3(BJ)	6-311G*	1.718	72.91
B3PW91-D3	cc-pVTZ	1.725	73.30
M06-2X	6-311G*	1.656	69.41
M06-2X	cc-pVTZ	1.653	69.44
wB97XD	6-31G*	1.667	69.96
wB97XD	6-311G*	1.668	70.08
wB97XD	cc-pVTZ	1.666	70.18
PBE0-D3	6-311G*	1.696	71.67
PBE0-D3(BJ)	6-311G*	1.692	71.53

Rechnungen für freies Molekül

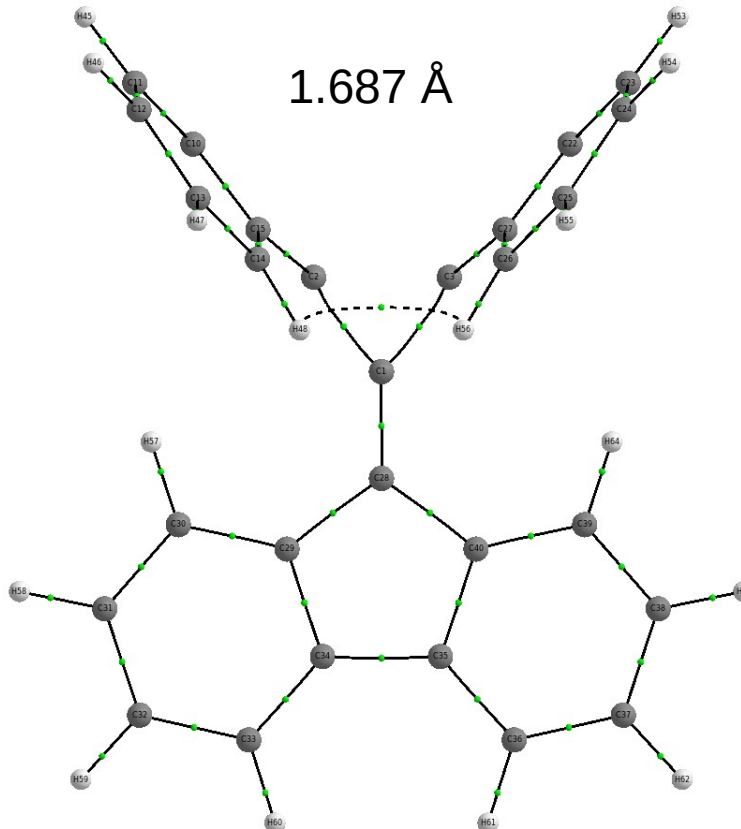


PBE0-D3BJ/def2-TZVPP
PBE0-D3BJ/def2-QZVPP

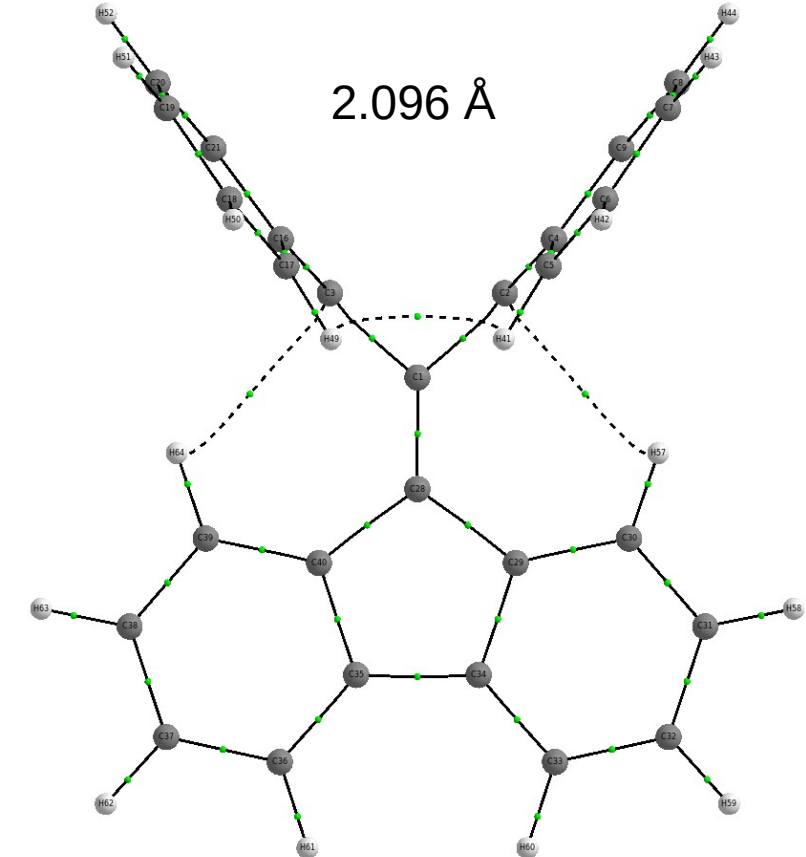


B3LYP-D3BJ/def2-TZVPP

QTAIM Analyse: kritische Punkte

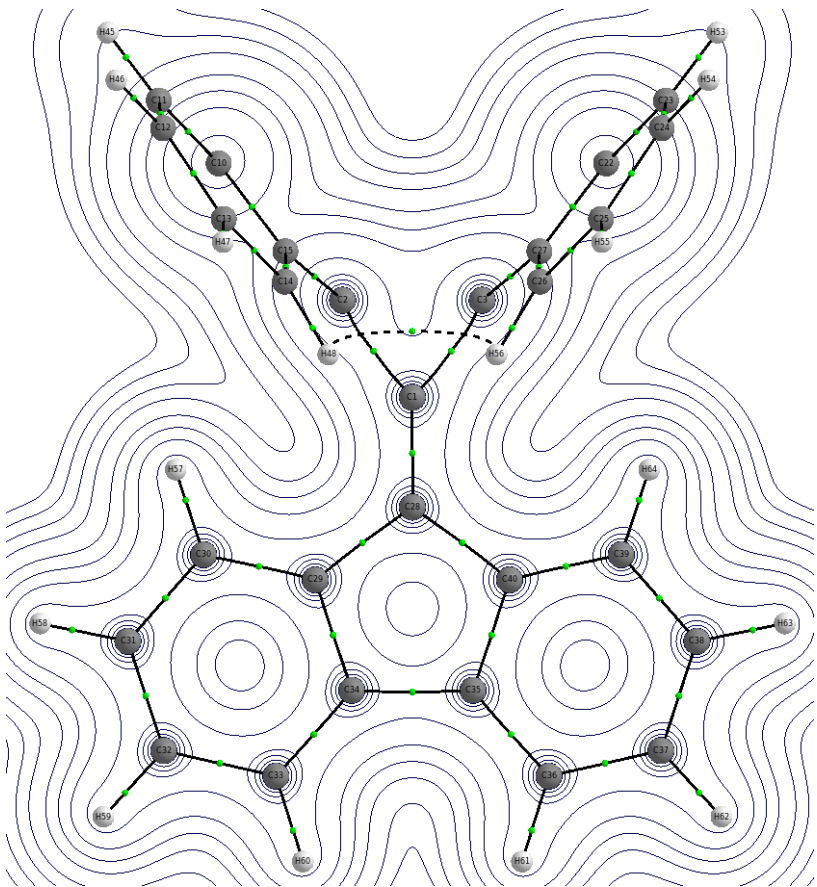


PBE0-D3BJ/def2-TZVPP

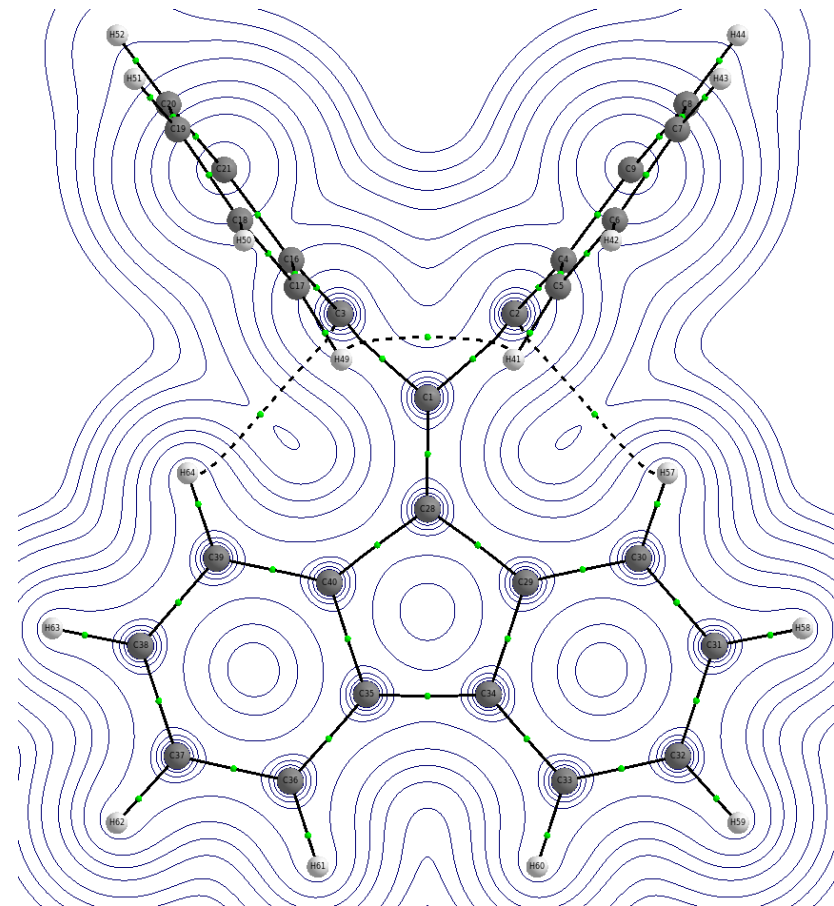


B3LYP-D3BJ/def2-TZVPP

QTAIM Analyse: Elektronendichte

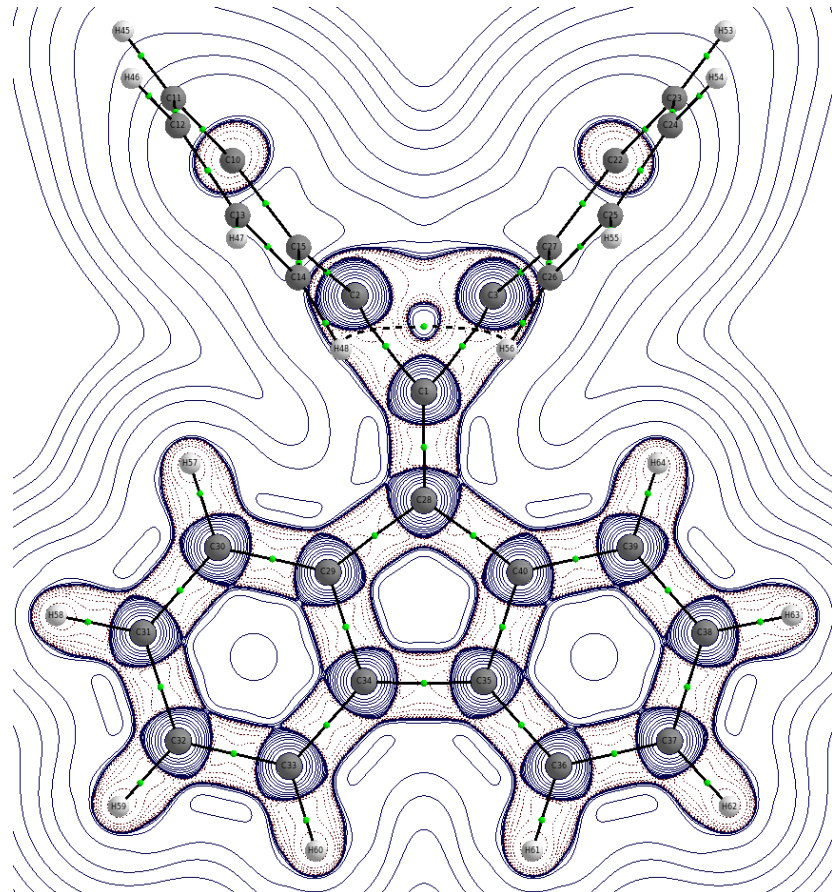


PBE0-D3BJ/def2-TZVPP

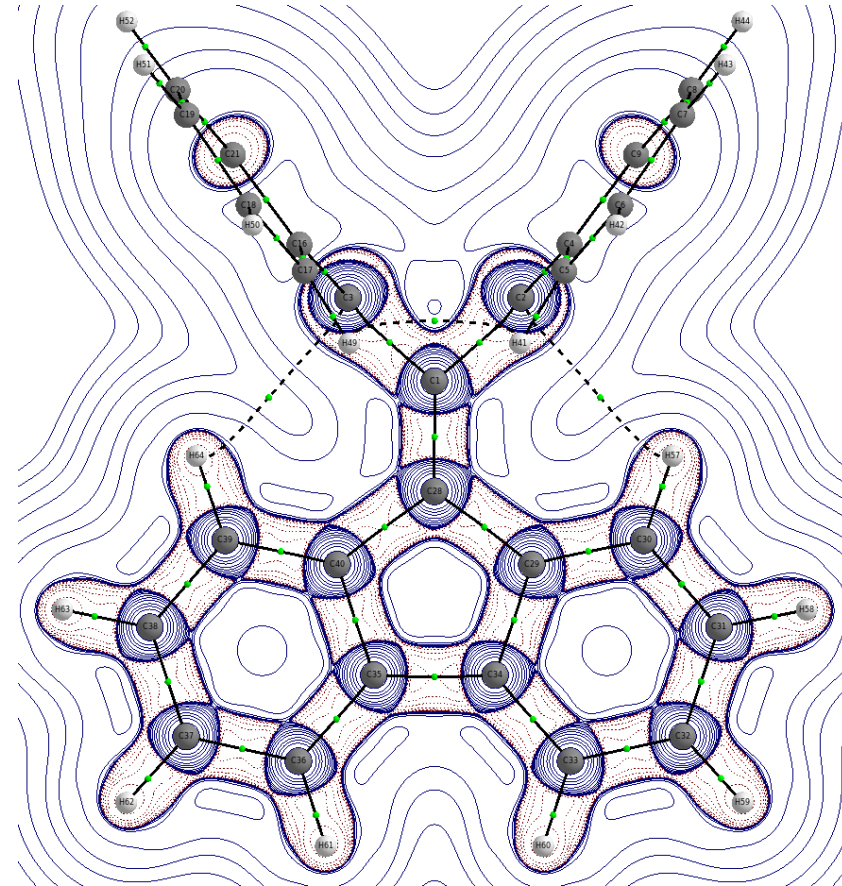


B3LYP-D3BJ/def2-TZVPP

QTAIM Analyse: Laplacian von El.-Dichte



PBE0-D3BJ/def2-TZVPP



B3LYP-D3BJ/def2-TZVPP

Quellen/Literatur

- D. W. H. Rankin, N. W. Mitzel, C. A. Morrison, Structural Methods in Molecular Inorganic Chemistry, John Wiley & Sons, Chichester, 2013.
- <https://www.iucr.org/education>
- P. G. Jones, „Crystal Structure Determination: A Critical View“, *Chem. Soc. Rev.* 13 (1984) 157–172.
- Z. Dauter, M. Jaskolski, „How to Read (and Understand) Volume A of International Tables for Crystallography: An Introduction for Nonspecialists“, *J. Appl. Cryst.* 43 (2010) 1150–1171.
- <http://webscsd.ccdc.cam.ac.uk>
- R. F. W. Bader, Atoms in Molecules - A Quantum Theory, Oxford University Press, Oxford, 1990.